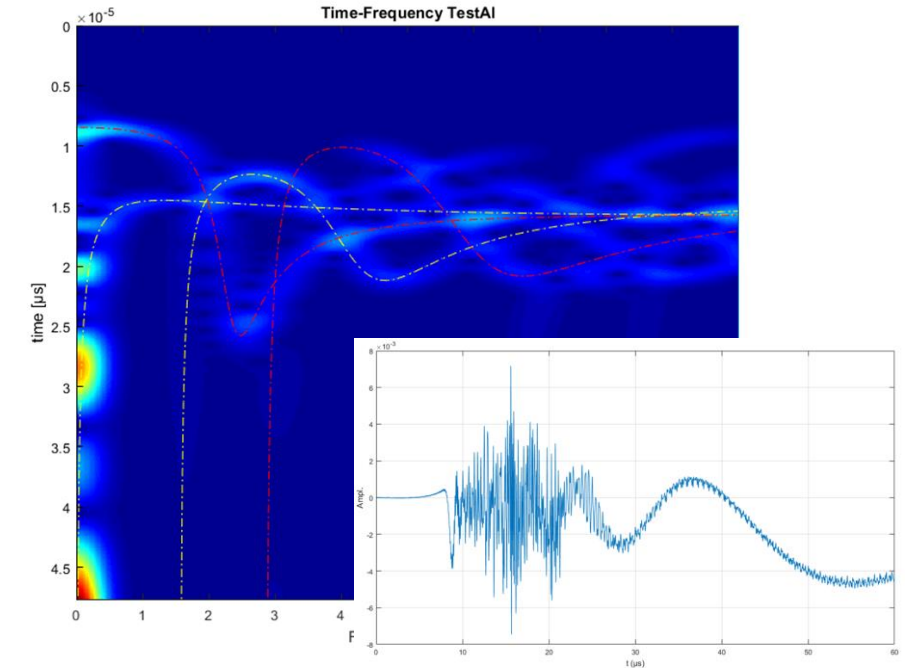
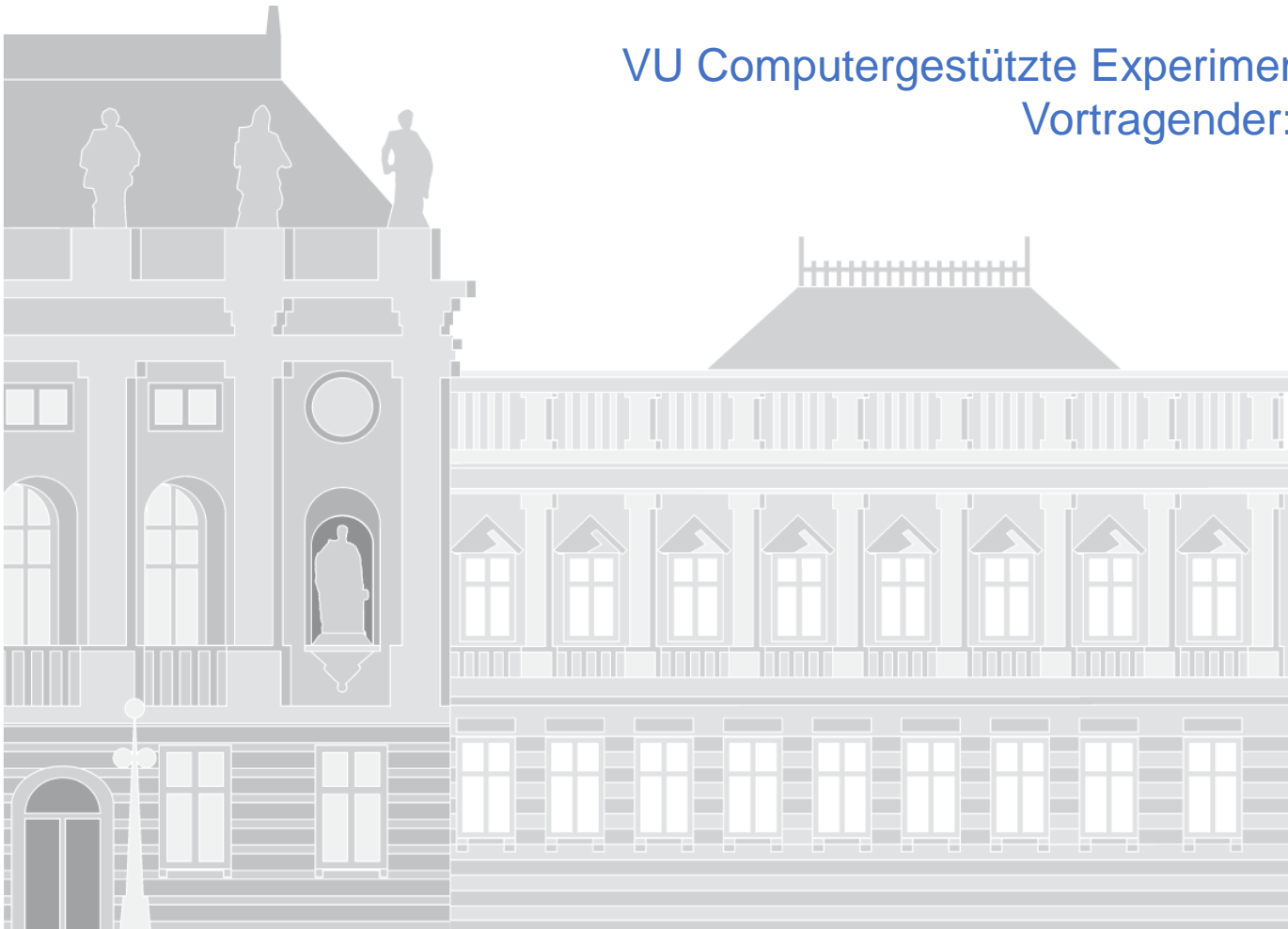


Filterung, Signal- und Bildanalyse

VU Computergestützte Experimente und Signalauswertung SS 2023
Vortragender: Robert Nuster



Motivation: Analogie-Kochrezept



Was macht einen guten/schlechten Smoothie aus?

- Zutaten (Obst, Gemüse)
- Menge (Masse, Anzahl)
- Reihenfolge / Dauer
- Verarbeitung (geschnitten, gemixt)
- Verunreinigung
-

Motivation

Signalverlauf:

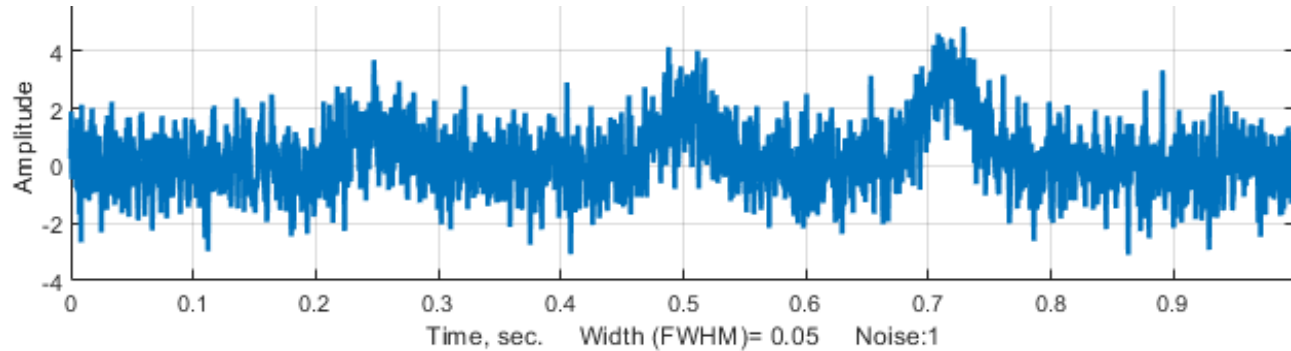


Bild:



Jean Baptiste
Joseph Fourier
(1768-1830)

Was macht eine
gute/schlechte **Signal-**
/Bildqualität aus?

- Schwingungsfrequenzen
(zeitlich/räumlich)
- Schwingungsamplituden
- “Reihenfolge / Dauer”
- “Verarbeitung” (Sampling)
- Verunreinigung->Rauschen
-



Definition der kontinuierlichen 1D-Fouriertransformation (FT):

Hintransformation:



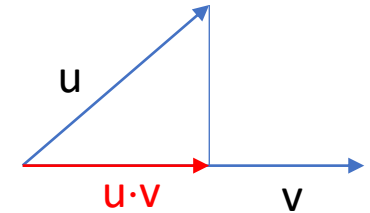
$$\hat{F}(\omega) = \int_{-\infty}^{\infty} f(t) \cdot \exp(-i\omega t) \cdot dt$$

Rücktransformation:



$$f(t) = \frac{1}{2\pi} \int_{-\infty}^{\infty} \hat{F}(\omega) \cdot \exp(i\omega t) \cdot d\omega$$

FT entspricht einem
funktionalem Skalarprodukt!



- FT ist eine Integraltransformation die ein Signal in ein kontinuierliches Spektrum zerlegt.
- Das Spektrum entspricht der Spektralfunktion $F(\omega)$ und ist im allgemeinen eine komplexe Funktion.
- $f(t)$ muss eine integrierbare Funktion sein.



Eigenschaften der FT:

cos-Transformation

sin-Transformation

$$\begin{aligned} \hat{F}(\omega) &= \int_{-\infty}^{\infty} f(t) \cdot \exp(-i\omega t) \cdot dt = \int_{-\infty}^{\infty} f(t) \cdot \cos(\omega t) \cdot dt - i \int_{-\infty}^{\infty} f(t) \cdot \sin(\omega t) \cdot dt = \operatorname{Re} \hat{F}(\omega) + i \operatorname{Im} \hat{F}(\omega) \\ f(t) &= \frac{1}{2\pi} \int_{-\infty}^{\infty} \hat{F}(\omega) \cdot \exp(i\omega t) \cdot d\omega = \frac{1}{2\pi} \int_{-\infty}^{\infty} |\hat{F}(\omega)| \cdot \exp(i\varphi) \cdot \exp(i\omega t) \cdot d\omega = \\ &= \frac{1}{\pi} \int_0^{\infty} (\operatorname{Re} \hat{F}(\omega) \cdot \cos(\omega t) + \operatorname{Im} \hat{F}(\omega) \cdot \sin(\omega t)) \cdot d\omega, \quad \tan \varphi = \frac{\operatorname{Im} \hat{F}(\omega)}{\operatorname{Re} \hat{F}(\omega)} \end{aligned}$$

Wichtig: Jede Funktion lässt sich in einen geraden und einen ungeraden Anteil zerlegen!

$$f(t) = f_g(t) + f_u(t)$$

$$f_g(t) = \frac{1}{2} f(t) + \frac{1}{2} f(-t)$$

$$f_u(t) = \frac{1}{2} f(t) - \frac{1}{2} f(-t)$$

$$f(t) = f_g(t) + f_u(t)$$



$$\hat{F}(\omega) = \operatorname{Re} \hat{F}(\omega) + i \operatorname{Im} \hat{F}(\omega)$$

Wichtige Zusammenhänge der Fouriertransformation

Linearitätstheorem / Superpositionsprinzip:

$$a \cdot f(t) + b \cdot g(t) \quad \text{---} \quad a \cdot F(\omega) + b \cdot G(\omega)$$

Skalierungssatz:

$$f(a \cdot t) \quad \text{---} \quad \frac{1}{|a|} \cdot F\left(\frac{\omega}{a}\right)$$

Fouriertransformation von Ableitungen:

$$\frac{\partial^n}{\partial t^n} f(t) \quad \text{---} \quad (i\omega)^n F(\omega)$$

- Eine Streckung (Stauchung) der Zeitachse bewirkt eine Stauchung (Streckung) der Frequenzachse.

1. Verschiebungssatz:

$$f(t-a) \quad \text{---} \quad F(\omega) \cdot \underbrace{\exp(-i\omega a)}_{\text{Oszillationsfaktor im Frequenzbereich}}$$

Verschiebung im
Zeitbereich

Oszillationsfaktor im
Frequenzbereich

2. Verschiebungssatz:

$$\underbrace{f(t) \cdot \exp(-i\omega_0 t)}_{\text{Oszillationsfaktor im Zeitbereich}} \quad \text{---} \quad F(\omega - \omega_0)$$

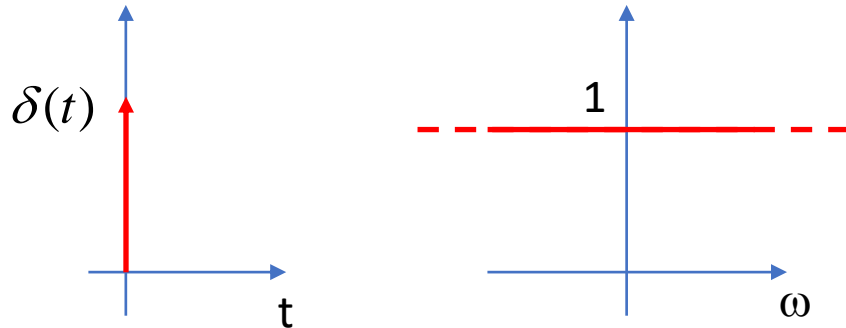
Oszillationsfaktor im
Zeitbereich

Verschiebung im
Frequenzbereich

Eigenschaften der FT: Extrem Fälle

FT eines Impulsstoß (Dirac-Puls):

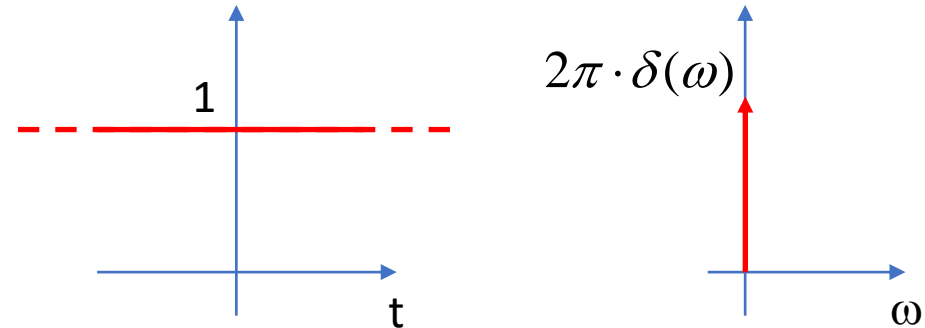
$$f(t) = \delta(t) \quad \text{---} \quad |\hat{F}(\omega)| = 1$$



- Benötigt alle Frequenzen mit Einheitsamplitude (“weißes Spektrum”)

FT einer Konstanten (Gleichspannung):

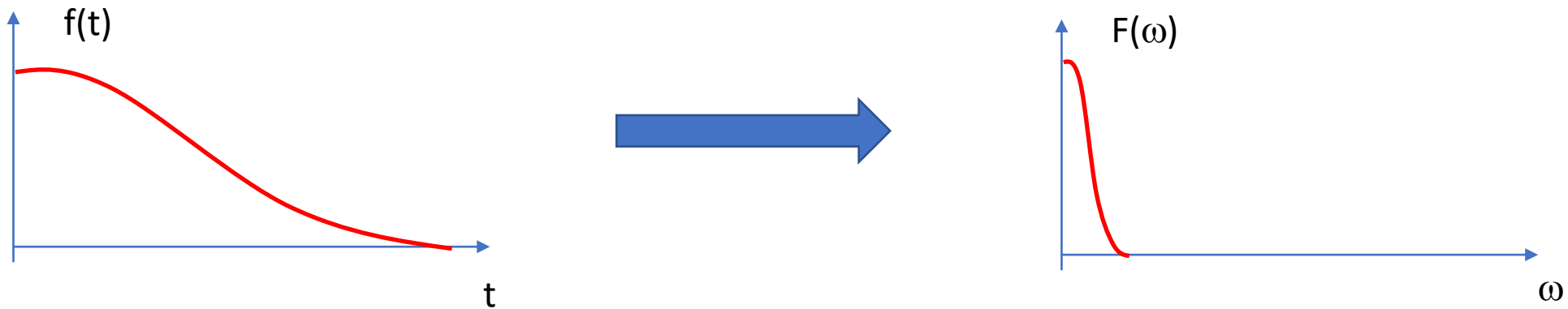
$$f(t) = 1 \quad \text{---} \quad |\hat{F}(\omega)| = 2\pi \cdot \delta(\omega)$$



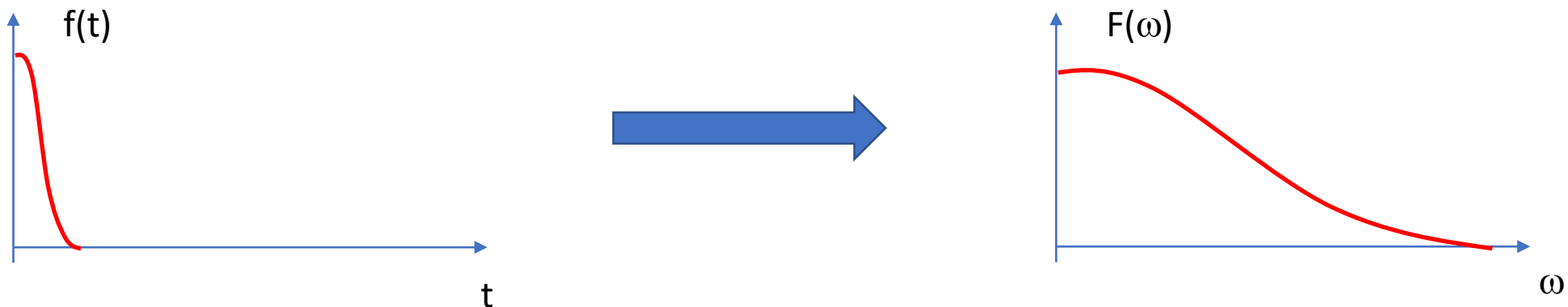
- Eine Konstante läßt sich mit einer einzigen Spektralkomponente bei $\omega = 0$ darstellen.

Allgemein gilt:

- Eine langsam variierende Funktion hat nur niederfrequente spektrale Komponenten.



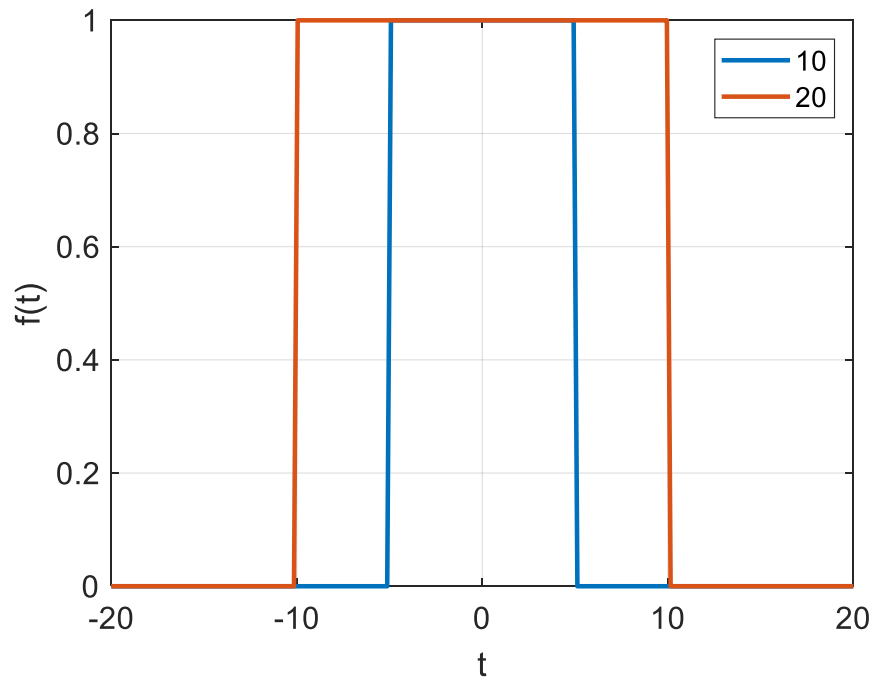
- Eine schnell veränderliche Funktion hat spektrale Komponenten über einen weiten Frequenzbereich.



FT wichtiger Funktionen: Rechteckfunktion

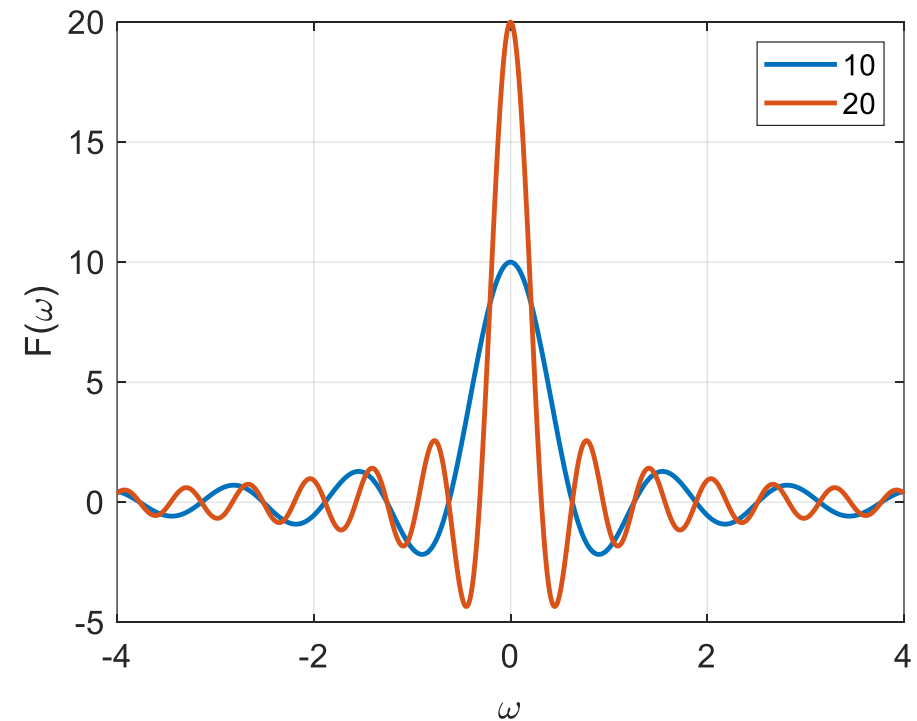
Rechteckpuls im Zeitbereich:

$$f(t) = \begin{cases} 1 & \text{für } -T/2 \leq t \leq T/2 \\ 0 & \text{sonst} \end{cases}$$



Sinc-Funktion im Frequenzbereich:

$$\hat{F}(\omega) = T \cdot \frac{\sin(\omega \cdot T / 2)}{\omega \cdot T / 2} = T \cdot \text{sinc}(\omega \cdot T / 2)$$



FT wichtiger Funktionen: normierte Gaußfunktion

Gaußfunktion im Zeitbereich:

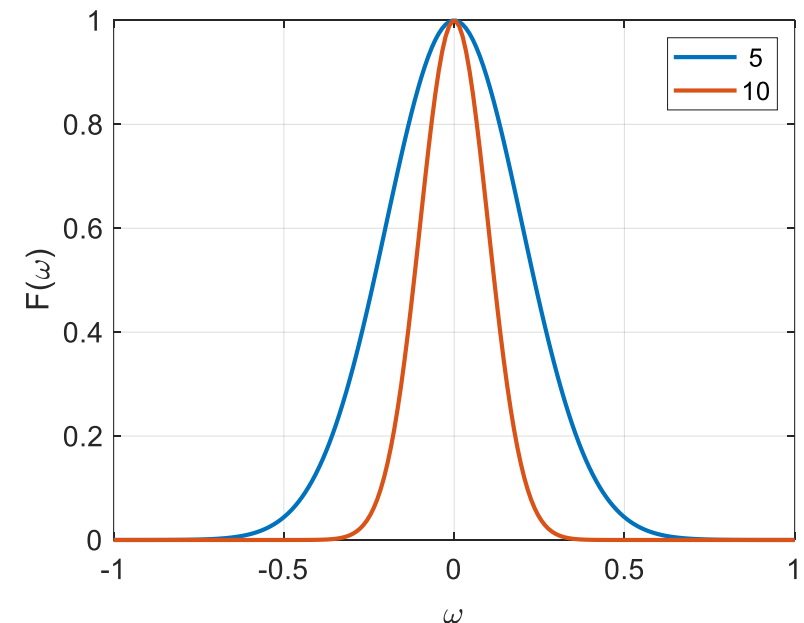
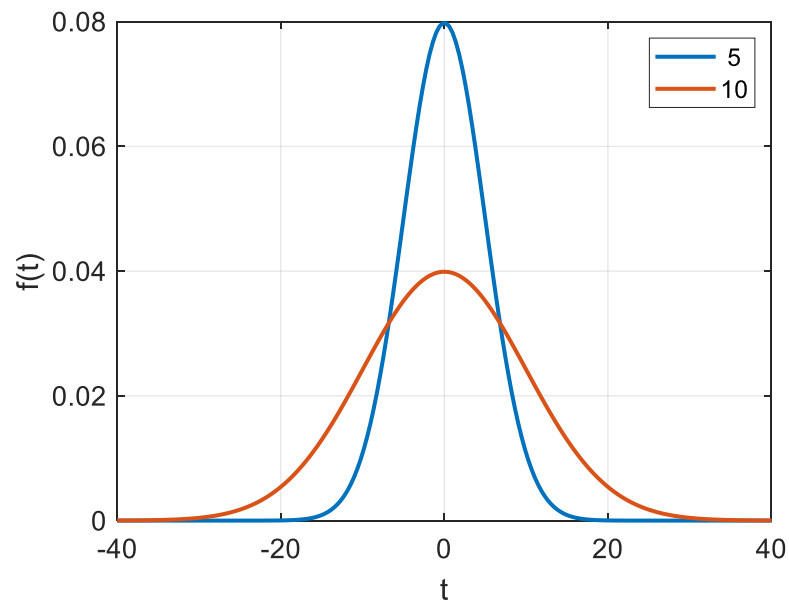
$$f(t) = \frac{1}{\sigma\sqrt{2\pi}} \exp\left(-\frac{1}{2} \frac{t^2}{\sigma^2}\right)$$



Gaußfunktion im Frequenzbereich:

$$\hat{F}(\omega) = \exp\left(-\frac{1}{2} \sigma^2 \omega^2\right)$$

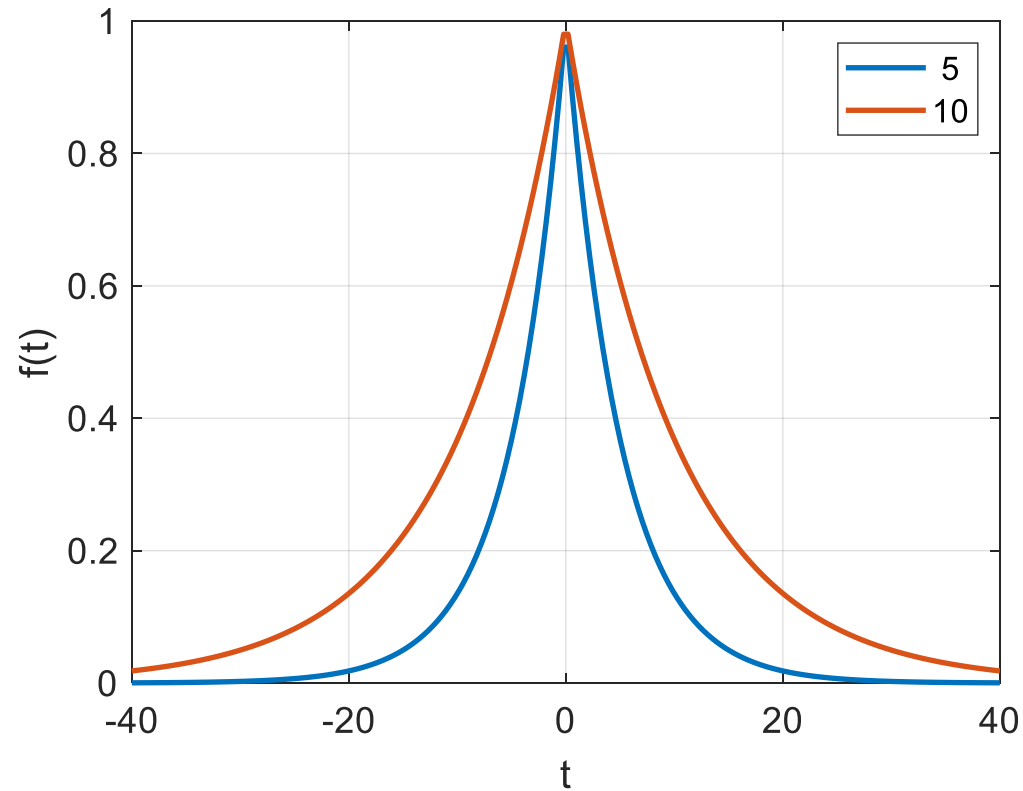
$$2\sigma = \sqrt{2\ln 2} \cdot FWHM$$



FT wichtiger Funktionen: beidseitige Exponentialfunktion

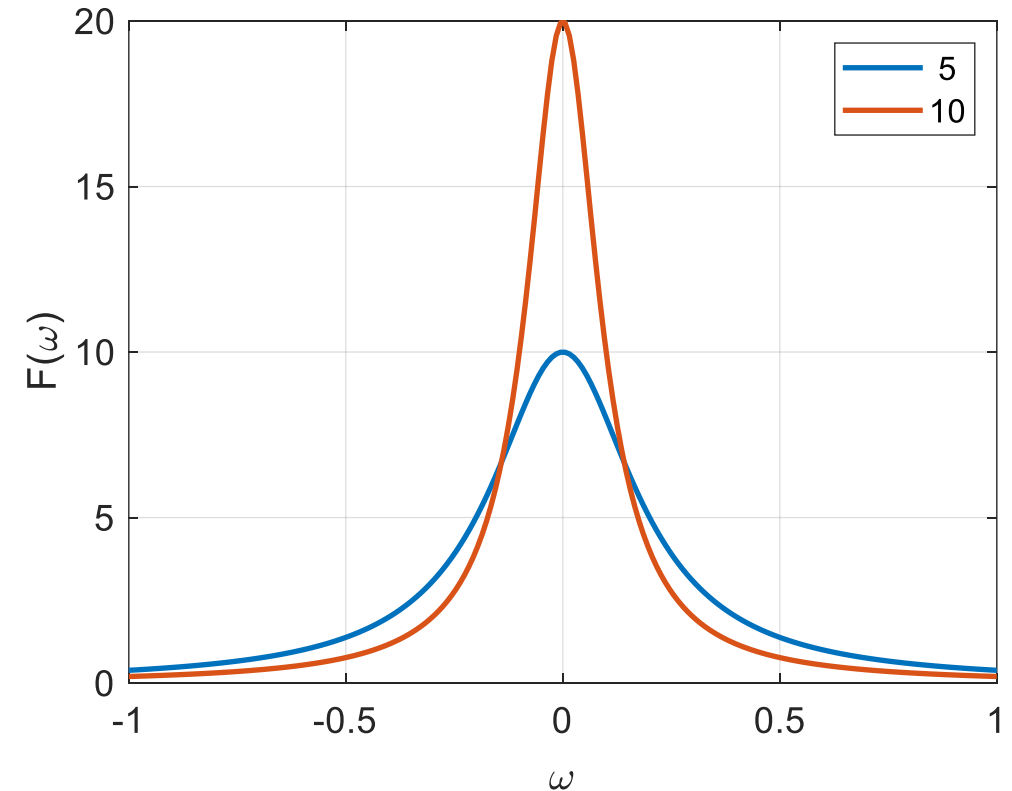
Exponentialfunktion im Zeitbereich:

$$f(t) = \exp(-|t|/\tau)$$



Lorentzfunktion im Frequenzbereich:

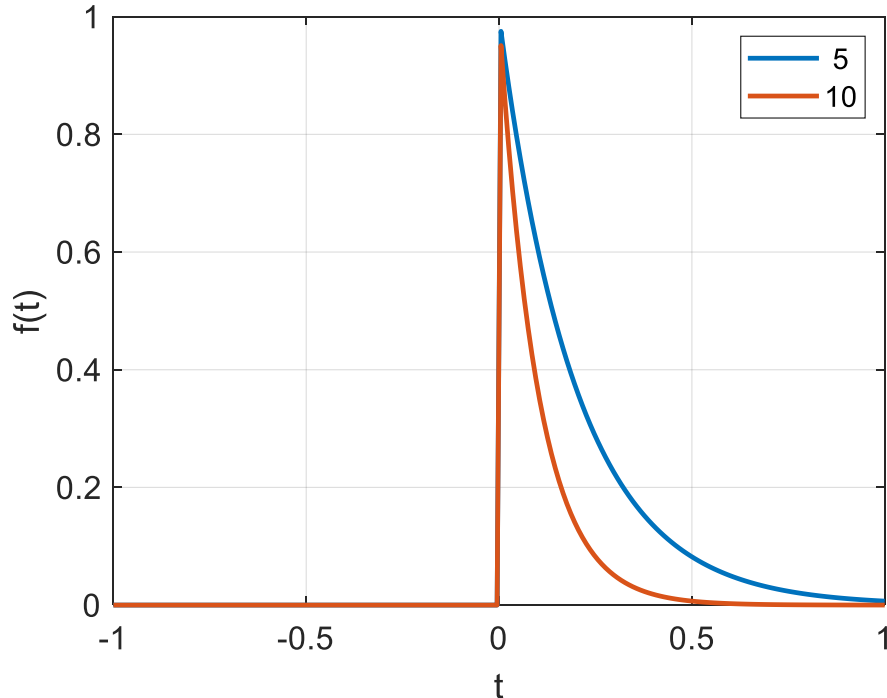
$$\hat{F}(\omega) = \frac{2\tau}{1 + \omega^2 \tau^2}$$



FT wichtiger Funktionen: einseitige Exponentialfunktion

Einseitige Exponentialfunktion im Zeitbereich:

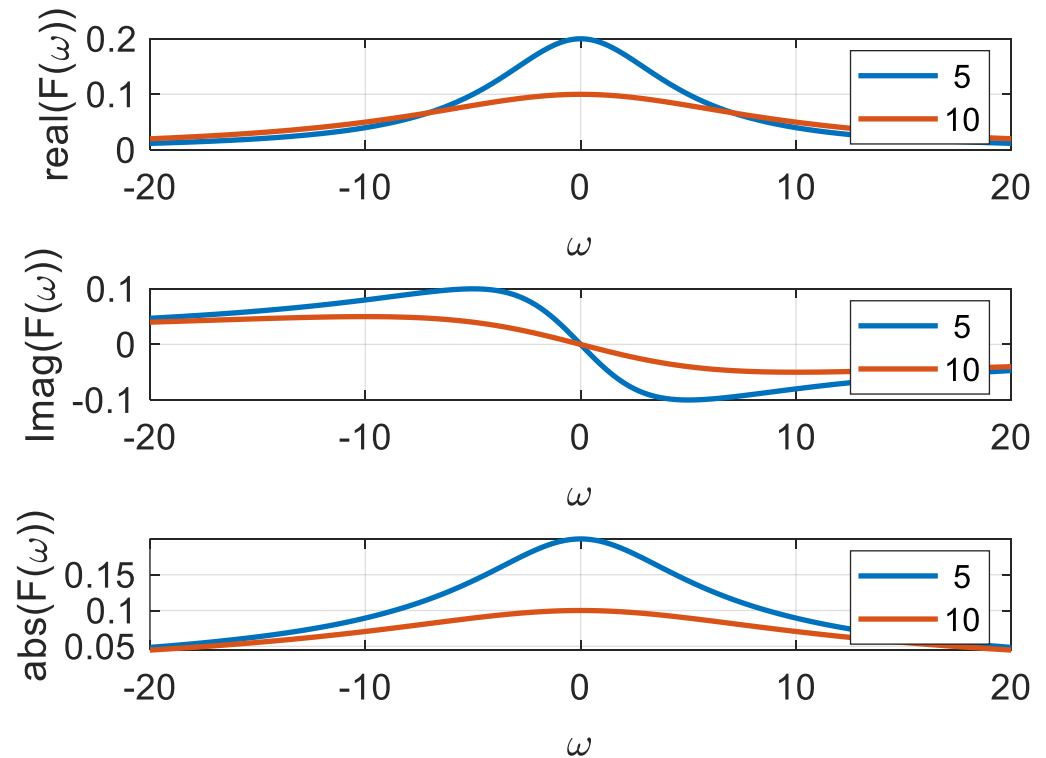
$$f(t) = \begin{cases} \exp(-\lambda \cdot t) & t \geq 0 \\ 0 & \text{sonst} \end{cases}$$



Lorenzform des Realteil und Dispersionsform des Imaginärteils im Frequenzbereich:



$$\hat{F}(\omega) = \frac{1}{\lambda + i\omega} = \frac{\lambda}{\lambda^2 + \omega^2} + \frac{-i\omega}{\lambda^2 + \omega^2}$$



FT wichtiger Funktionen: Dirac-Stoßfolge (Kammfunktion)

Dirac-Stoßfolge im Zeitbereich:

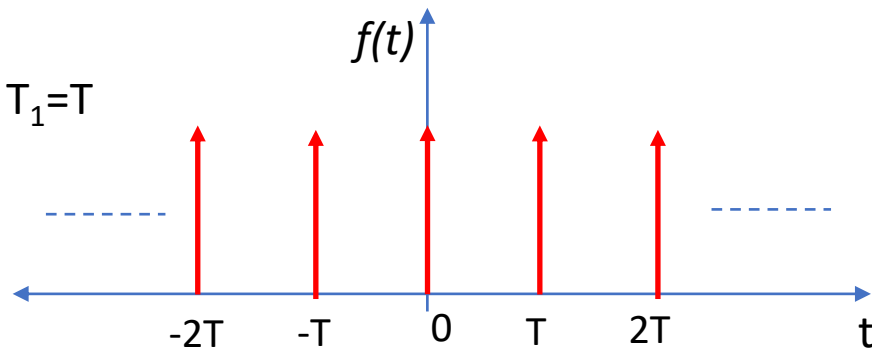
$$f(t) = \sum_{n=-\infty}^{\infty} \delta(t - nT)$$



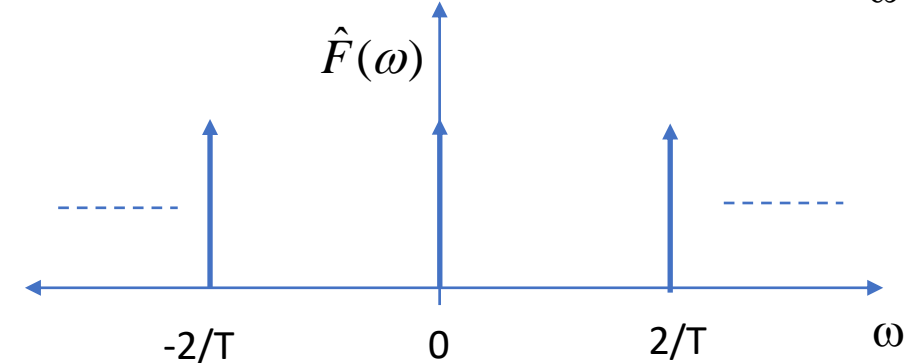
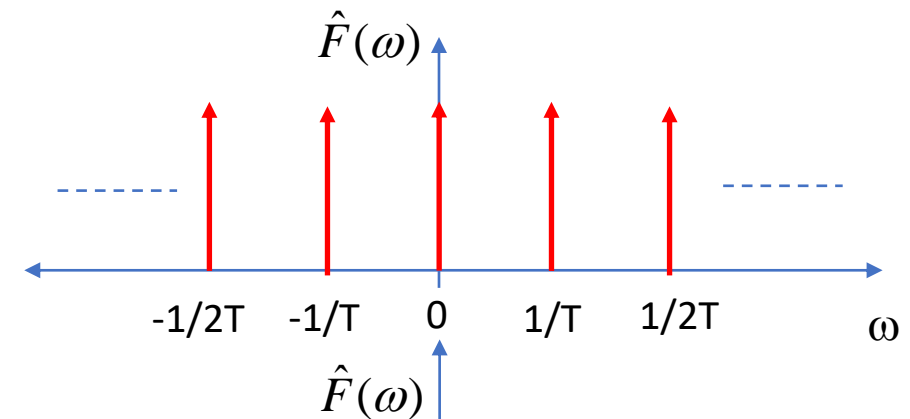
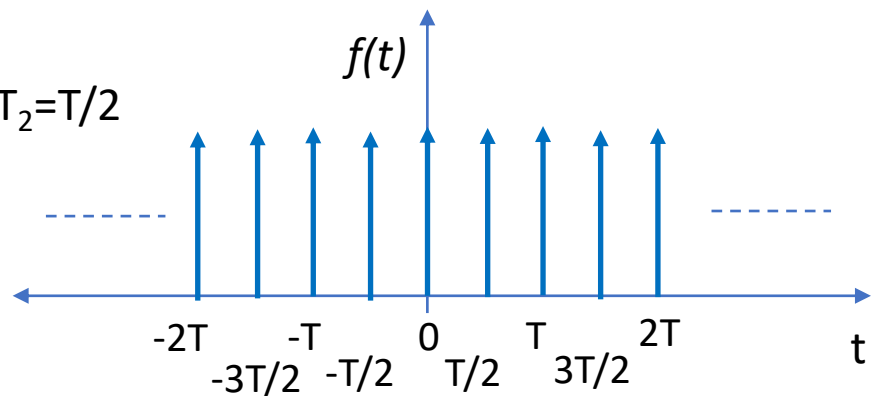
Dirac-Stoßfolge im Frequenzbereich:

$$\hat{F}(\omega) = \frac{1}{|T|} \cdot \sum_{n=-\infty}^{\infty} \delta\left(\omega - \frac{2\pi n}{T}\right)$$

Fall: $T_1 = T$



Fall: $T_2 = T/2$



Einschub: Faltung, Kreuzkorrelation und Autokorrelation

Faltung im Zeitbereich:

$$h(t) = f(t) * g(t) \equiv \int_{-\infty}^{\infty} f(\xi) \cdot g(t - \xi) d\xi$$



Multiplikation im Zeitbereich:

$$h(t) = f(t) \cdot g(t)$$



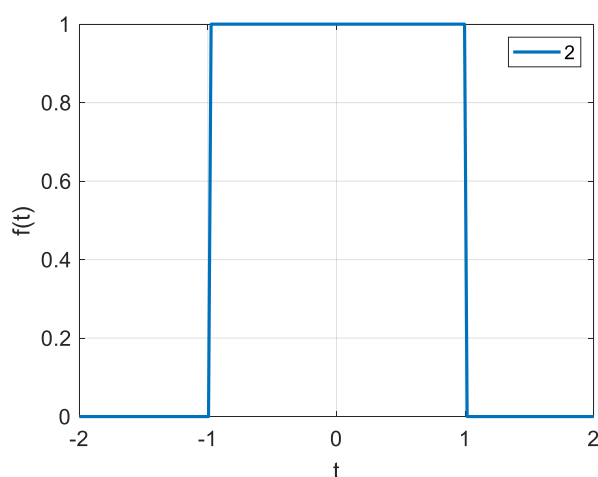
Multiplikation im Frequenzbereich:

$$\hat{H}(\omega) = \hat{F}(\omega) \cdot \hat{G}(\omega)$$

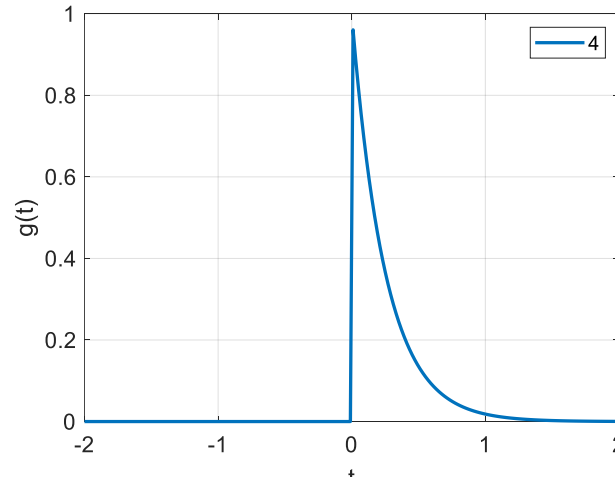
Faltung im Frequenzbereich:

$$H(\omega) = F(\omega) * G(\omega) \equiv \int_{-\infty}^{\infty} F(\xi) \cdot G(\omega - \xi) d\xi$$

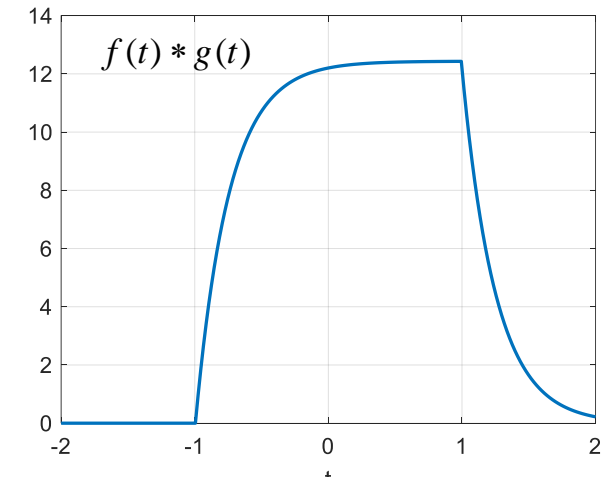
- Wichtig: Minuszeichen im Argument von g und G daher gespiegelt vor der Multiplikation!
- Die Faltung ist kommutativ, distributive und assoziativ



*

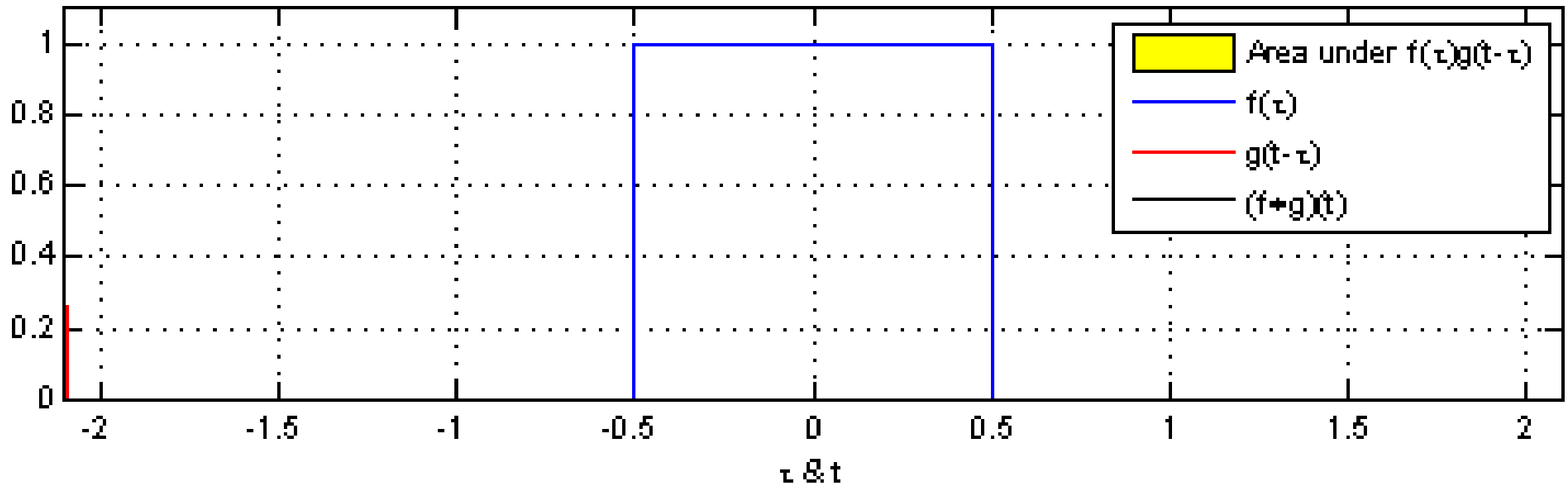


=



Wie funktioniert die Faltung zweier Funktionen?

$$h(t) = f(t) * g(t) \equiv \int_{-\infty}^{\infty} f(\xi) \cdot g(t - \xi) d\xi$$



Einschub: Faltung, Kreuzkorrelation und Autokorrelation

Kreuzkorrelation im Zeitbereich:

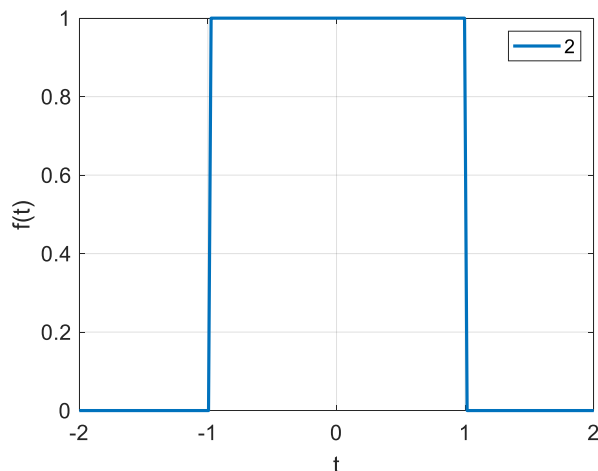
$$h(t) = f(t) \otimes g(t) \equiv \int_{-\infty}^{\infty} f(\xi) \cdot g^*(t + \xi) d\xi$$



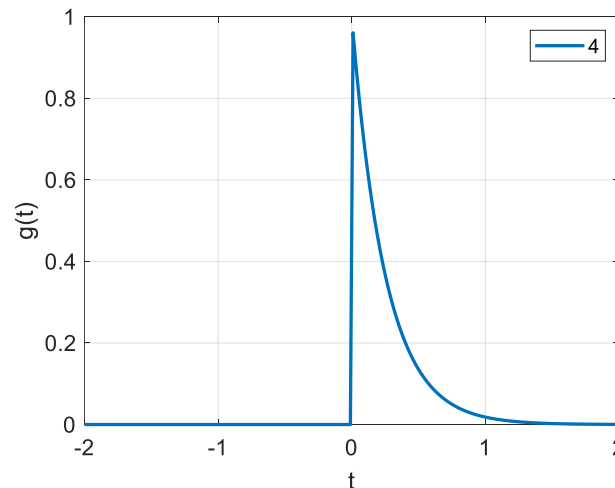
Kreuzkorrelation im Frequenzbereich:

$$\hat{H}(\omega) = \hat{F}(\omega) \cdot \hat{G}^*(\omega)$$

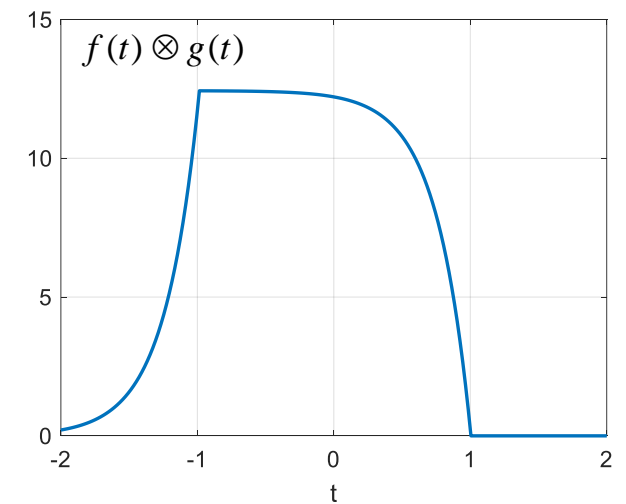
- Zur Bestimmung von Gemeinsamkeiten/Ähnlichkeiten von Funktionen
- Pluszeichen im Argument von g, d.h. g wird nicht gespiegelt. Für gerade Funktionen aber irrelevant.
- Der Stern bedeutet konjugiert complex, für reelle Funktionen irrelevant.

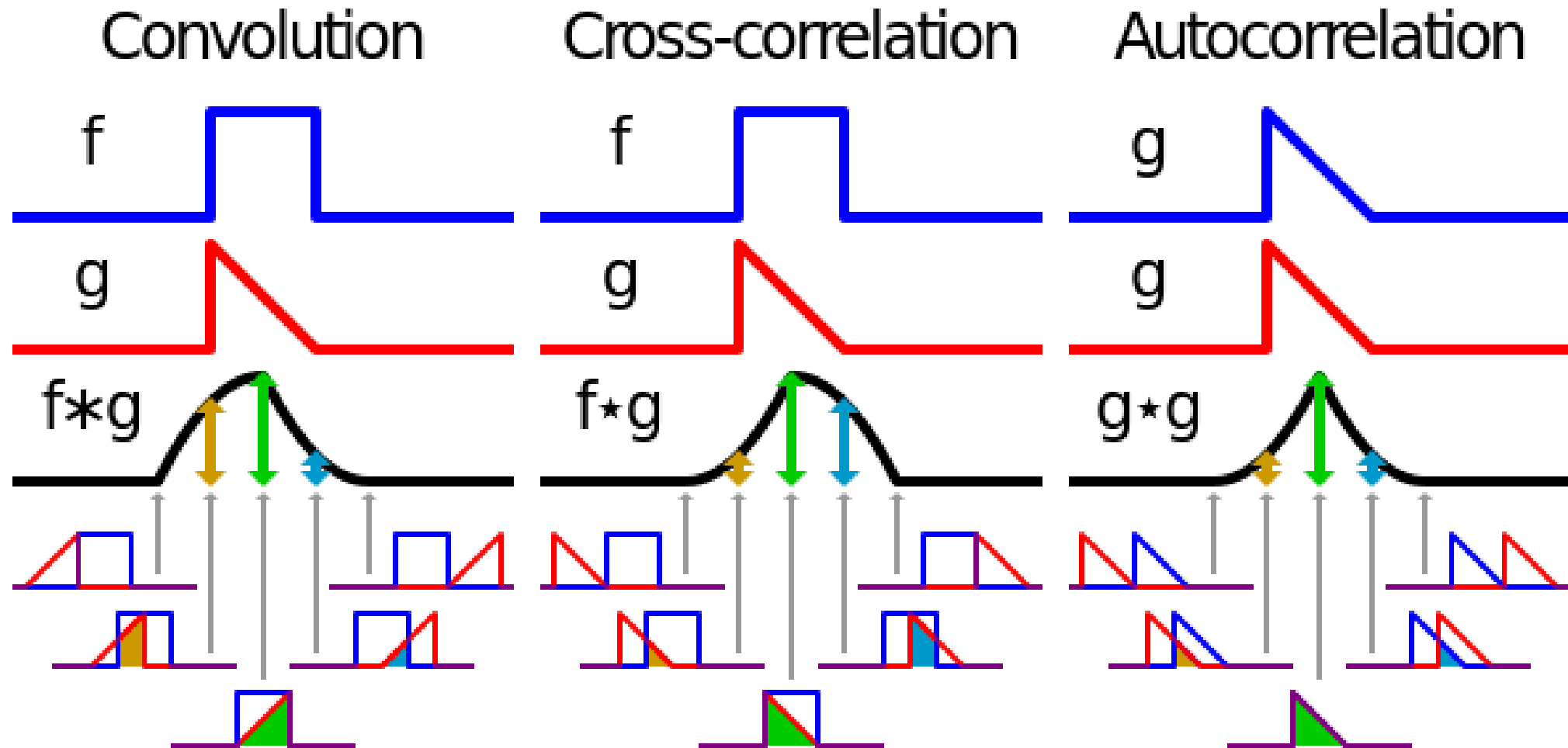


*



=





Diskrete Fourier-Transformation von zeitbegrenzten Abtastsignalen

Definition:



$$F_j = \frac{1}{N} \sum_{k=0}^{N-1} f_k \cdot \exp(-i 2\pi k j / N) = \frac{1}{N} \sum_{k=0}^{N-1} f_k \cdot W_N^{+k j}$$

mit $W_N = \exp(-i 2\pi / N)$



$$f_k = \frac{1}{N} \sum_{j=0}^{N-1} F_j \cdot \exp(+i 2\pi k j / N) = \sum_{j=0}^{N-1} F_j \cdot W_N^{-k j}$$

Signal nur an N diskreten Zeiten....

$$t_k = k \cdot \Delta t, k = 0 \dots N-1$$

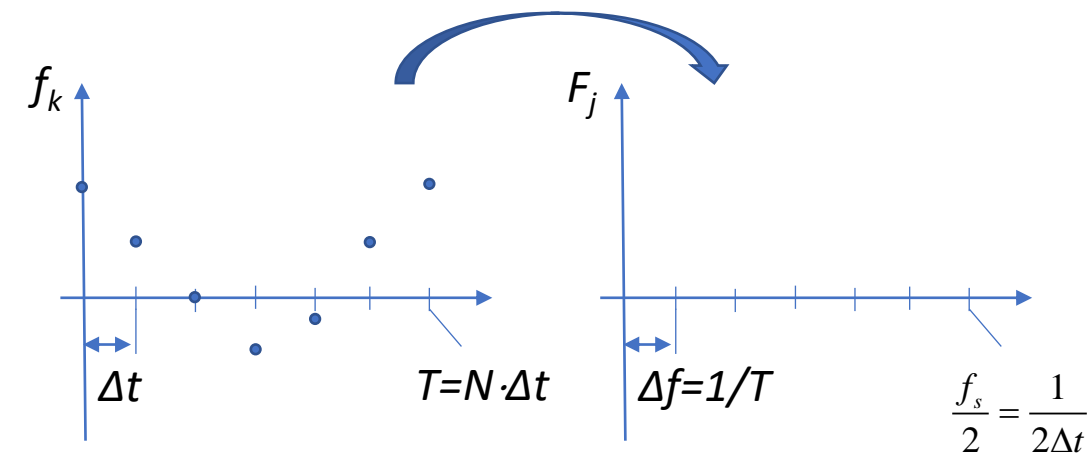
“gesampelt” und als Zahlenfolge $f(t_k)$ bekannt.

$$\begin{pmatrix} F_0 \\ F_1 \\ F_2 \\ \vdots \\ F_{N-1} \end{pmatrix} = \begin{pmatrix} 1 & 1 & 1 & \cdot & \cdot & 1 \\ 1 & W_N^1 & W_N^2 & \cdot & \cdot & W_N^{(N-1)} \\ 1 & W_N^2 & W_N^4 & \cdot & \cdot & W_N^{(N-1) \cdot 2} \\ \cdot & \cdot & \cdot & \cdot & \cdot & \cdot \\ \cdot & \cdot & \cdot & \cdot & \cdot & \cdot \\ 1 & W_N^{(N-1)} & W_N^{(N-1) \cdot 2} & \cdot & \cdot & W_N^{(N-1)^2} \end{pmatrix} \cdot \begin{pmatrix} f_0 \\ f_1 \\ f_2 \\ \cdot \\ \cdot \\ f_{N-1} \end{pmatrix}$$

Diskrete Fourier-
komponenten

Transformationsoperator

Samplingwerte



- Die FFT ist ein Algorithmus zur effizienten Berechnung der diskreten Fourier-Transformation (DFT). Die Berechnungsdauer reduziert sich dadurch erheblich, wenn die Anzahl der Datenpunkte $N=2^p$ entspricht, d.h. die Anzahl der Stützstellen bzw. Abtastwerte eine 2er Potenz entspricht.

Aufwand der DFT $\in \mathcal{O}(N^2)$

Aufwand der FFT $\in \mathcal{O}(N \log_2 N)$

| N | DFT | FFT |
|------|---------|-------|
| 2 | 4 | 2 |
| 4 | 16 | 8 |
| 8 | 64 | 24 |
| 16 | 256 | 64 |
| 32 | 1024 | 160 |
| 64 | 4096 | 384 |
| 128 | 16384 | 896 |
| 256 | 65536 | 2048 |
| 512 | 262144 | 4608 |
| 1024 | 1048576 | 10240 |

Vorgehensweise der Berechnung von Spektren aus gemessenen Signalen mittels FFT: Daten im Zeitbereich

Zugrundeliegender funktionaler Zusammenhang:

$$s(t) = a1 \cdot \cos(2 \cdot \pi \cdot f1 \cdot t) + a2 \cdot \sin(2 \cdot \pi \cdot f2 \cdot t)$$

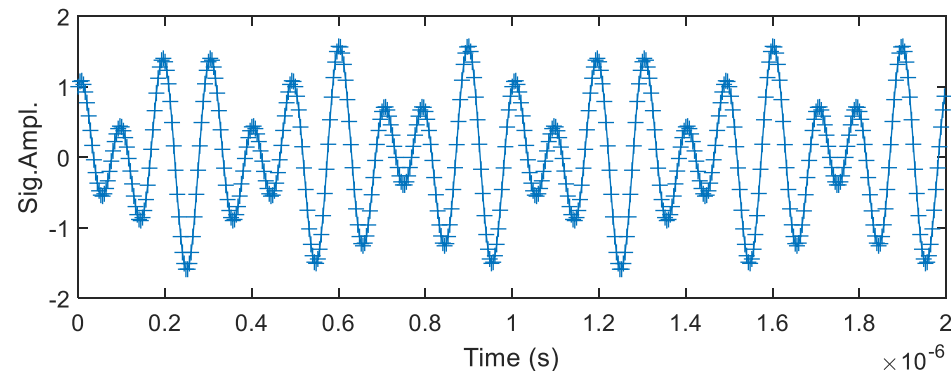
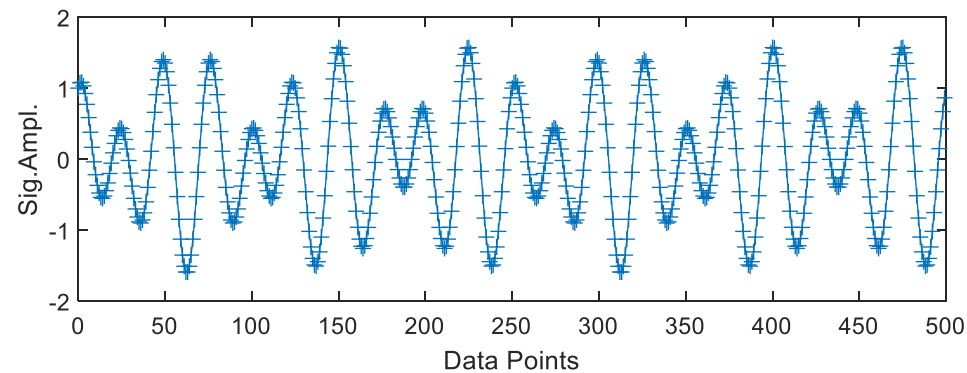
Parameter:

$$a1 = 1, a2 = 0.6, f1 = 10\text{MHz}, f2 = 7\text{MHz}$$

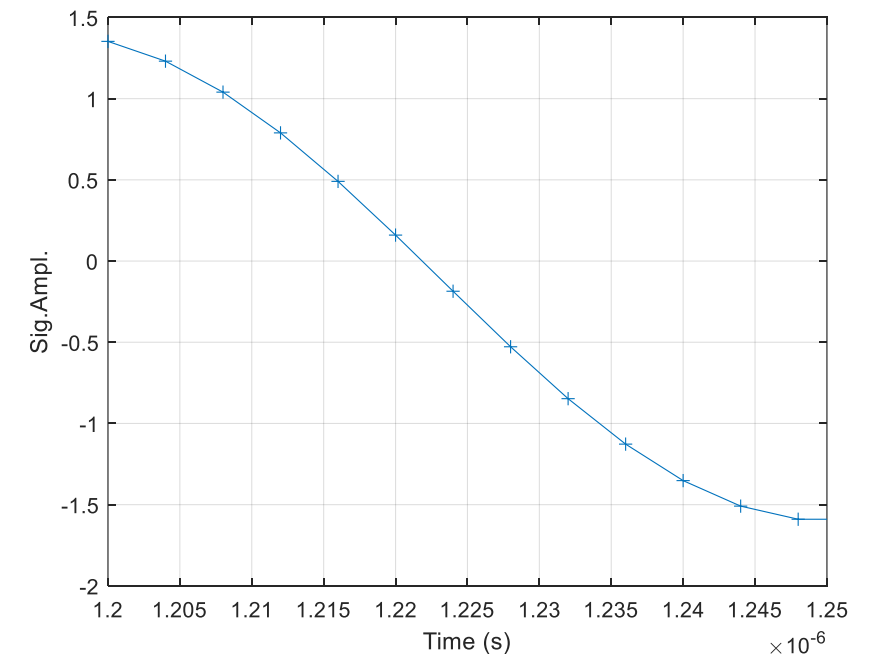
Messparameter:

N=500.....Anzahl der Datenpunkte

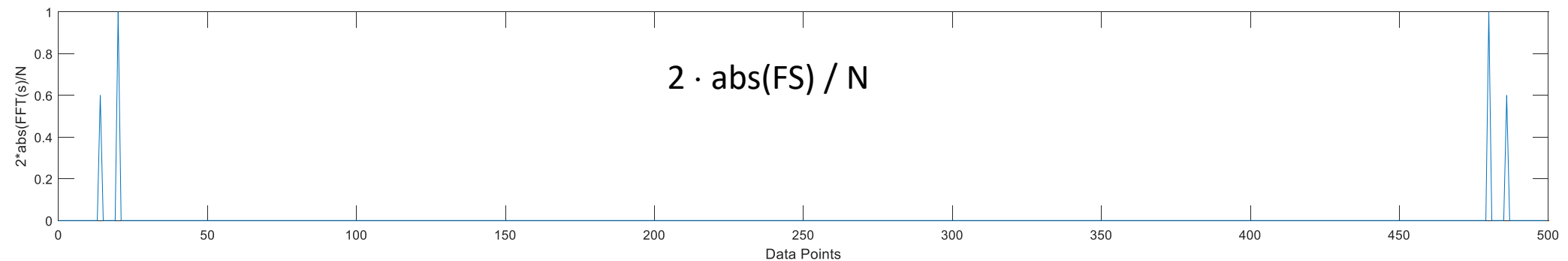
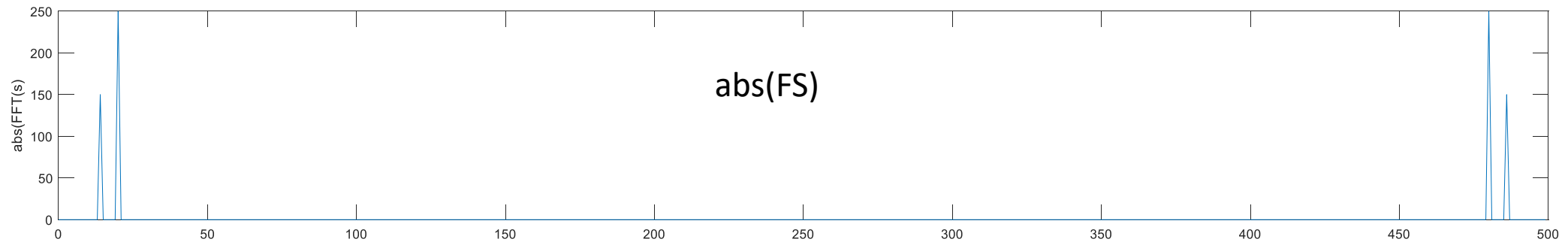
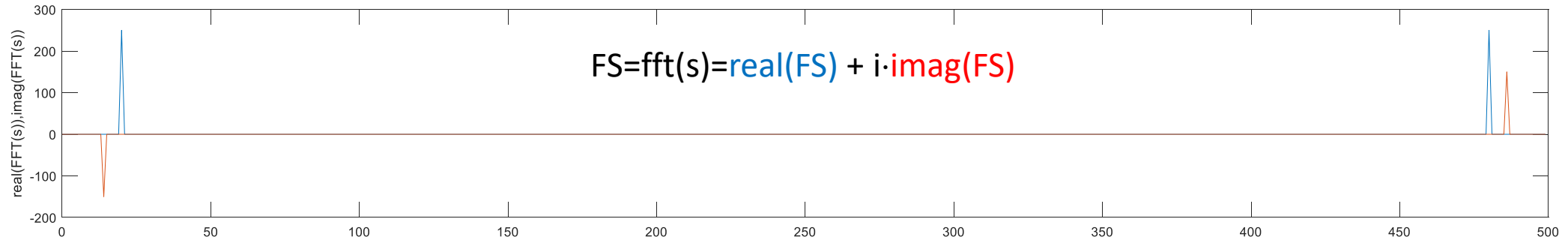
SF=250MS/s.....Abtastrate



Abtastintervall?
Zeitvektor?



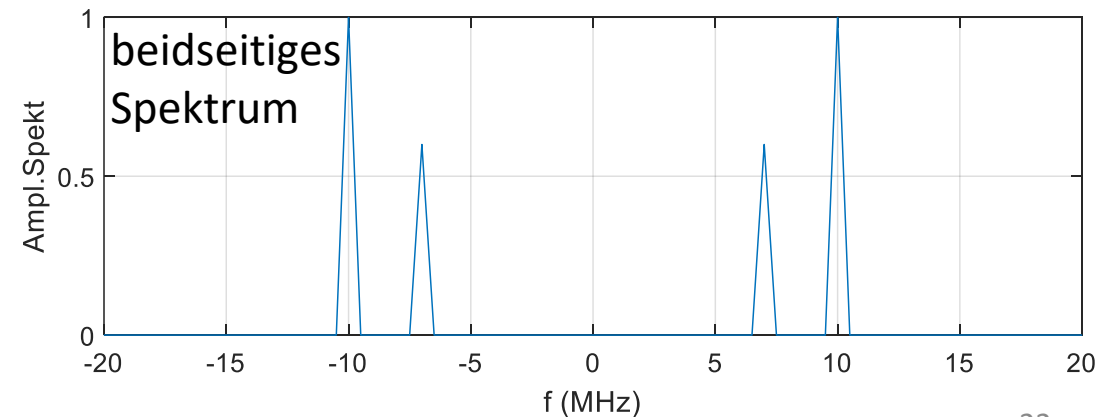
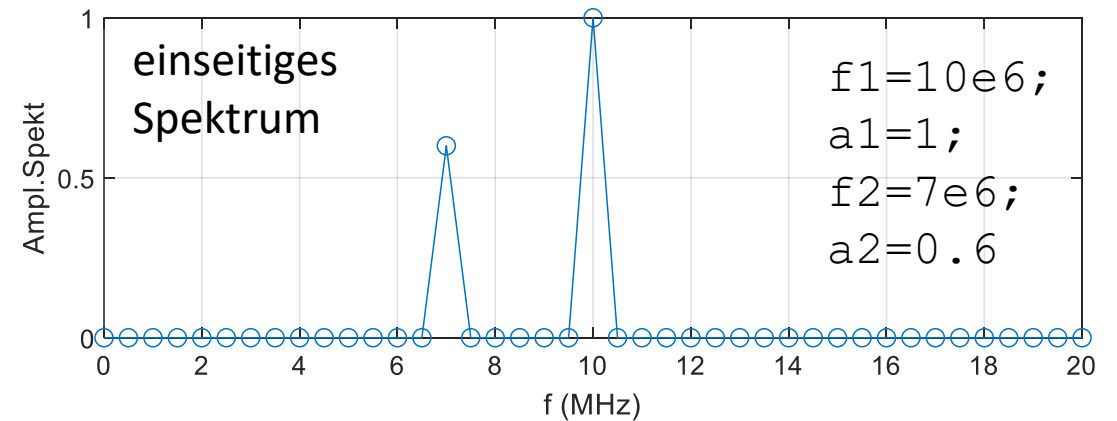
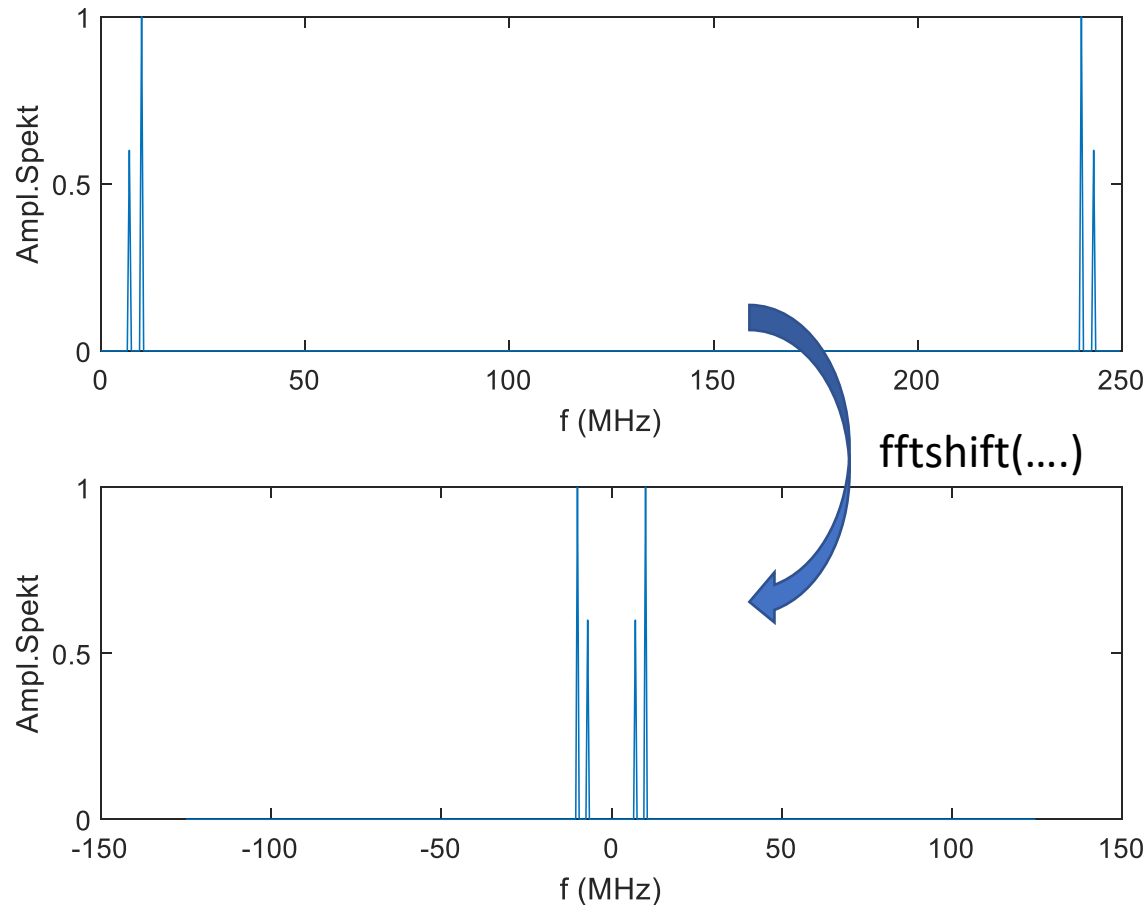
Vorgehensweise der Berechnung von Spektren aus gemessenen Signalen mittels FFT: Anpassung Amplituden im Frequenzraum



Vorgehensweise der Berechnung von Spektren aus gemessenen Signalen mittels FFT: Generierung der Frequenzachse

```
df=SamplFreq/N;  
f=[0:N-1]*df;  
fsym=f-N/2*df;
```

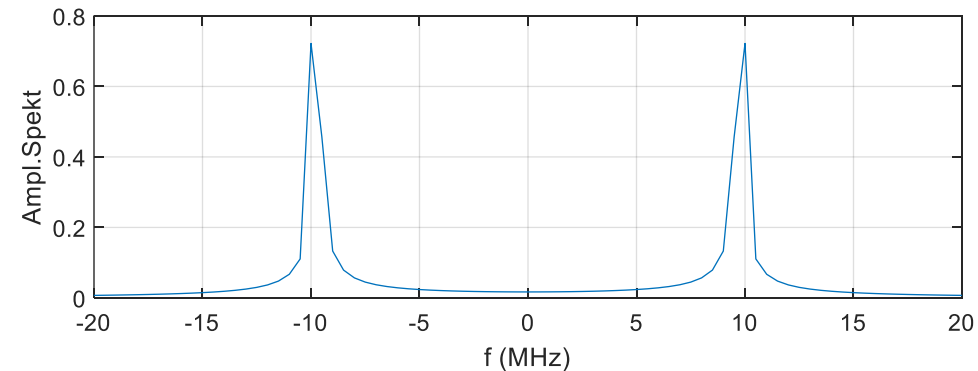
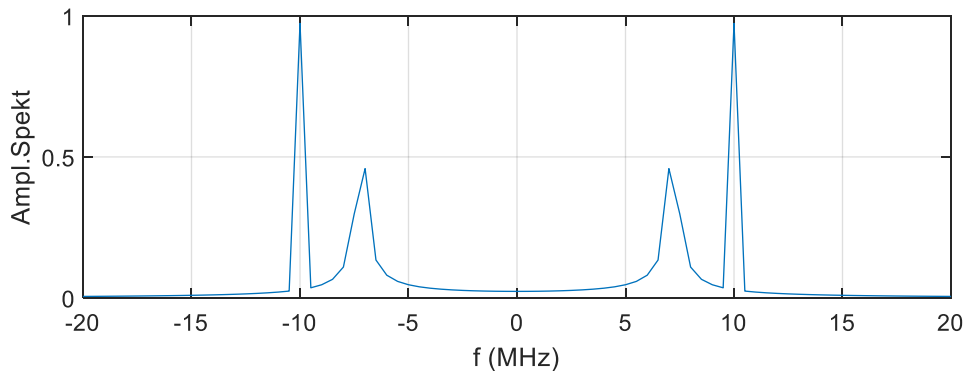
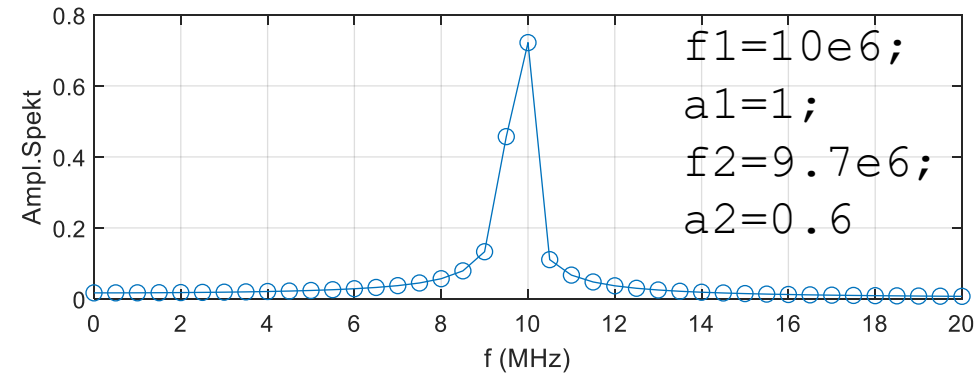
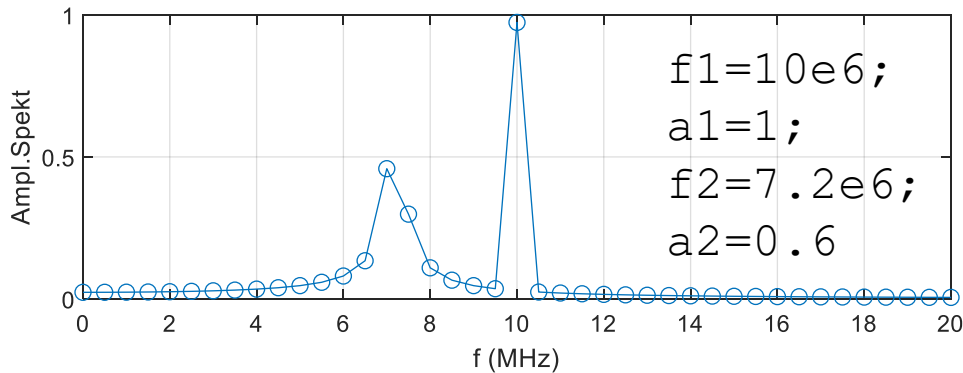
```
% Frequenzintervall, Frequenzauflösung  
% Generierung des Frequenzvektors  
% Generierung des symmetrischen +-Frequenzvektors
```



Vorgehensweise der Berechnung von Spektren aus gemessenen Signalen mittels FFT: Probleme bei Frequenzabtastung

- Gibt es bei bestimmten Signalfrequenzen keinen Frequenz-Pin aufgrund der Diskretisierung, kann es zu falschen Amplitudenwerten kommen.
- Verbesserung der Frequenzabtastung/Intervall kann durch künstliches Zero-padding im Zeitbereich erreicht werden da:

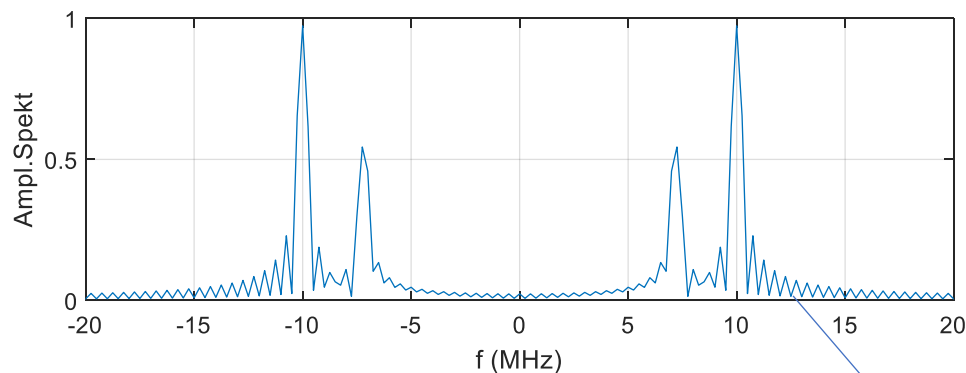
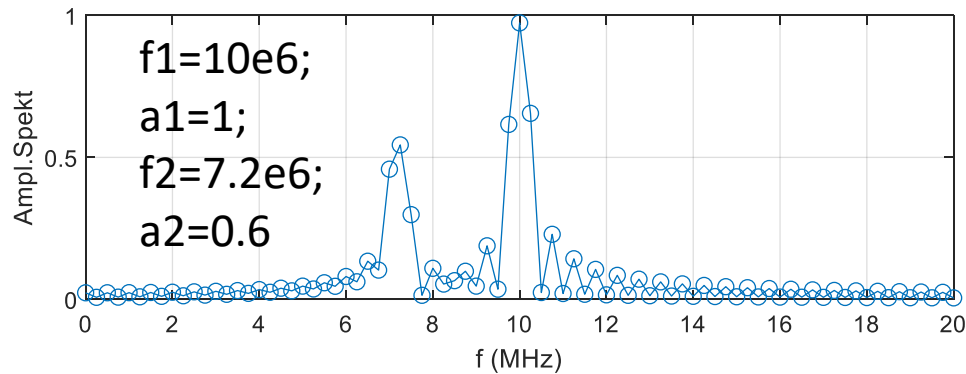
$df = \text{SampleFreq} / (\text{Npad})$; % Frequenzintervall, Frequenzauflösung



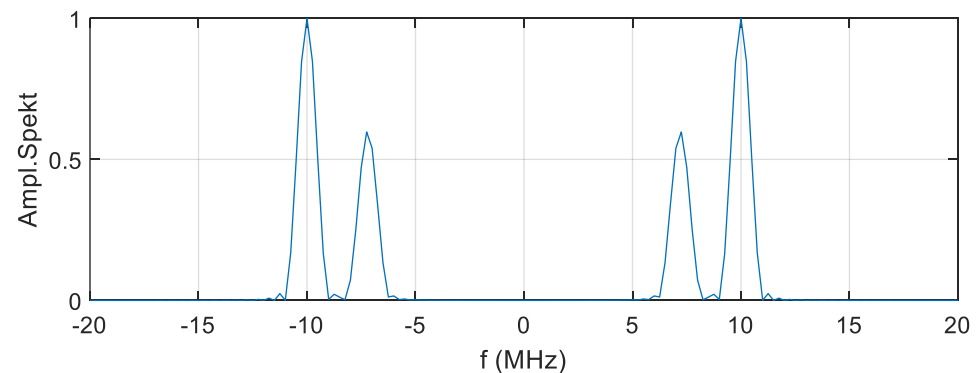
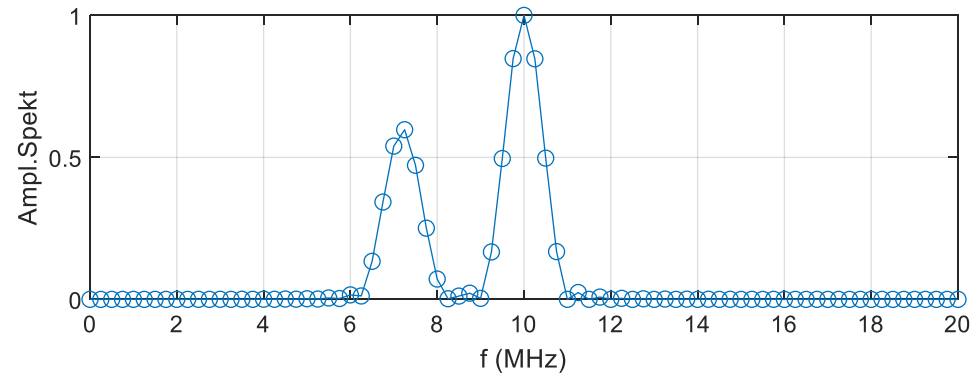
Vorgehensweise der Berechnung von Spektren aus gemessenen Signalen mittels FFT

Erweiterung des Datensatzes auf die doppelte Anzahl von Punkten.

$N_{\text{pad}} = 2 * N;$



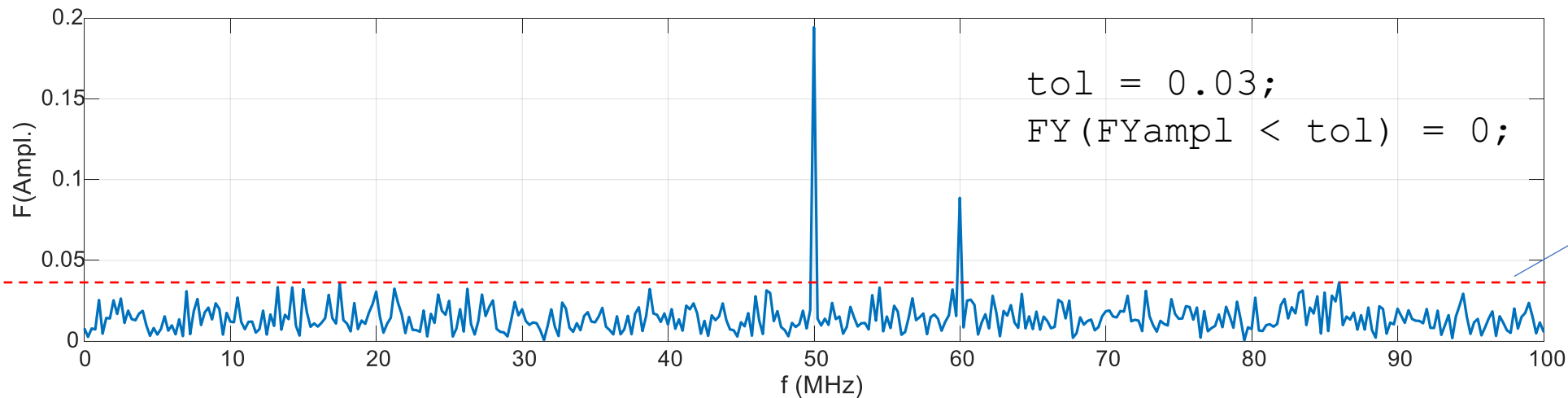
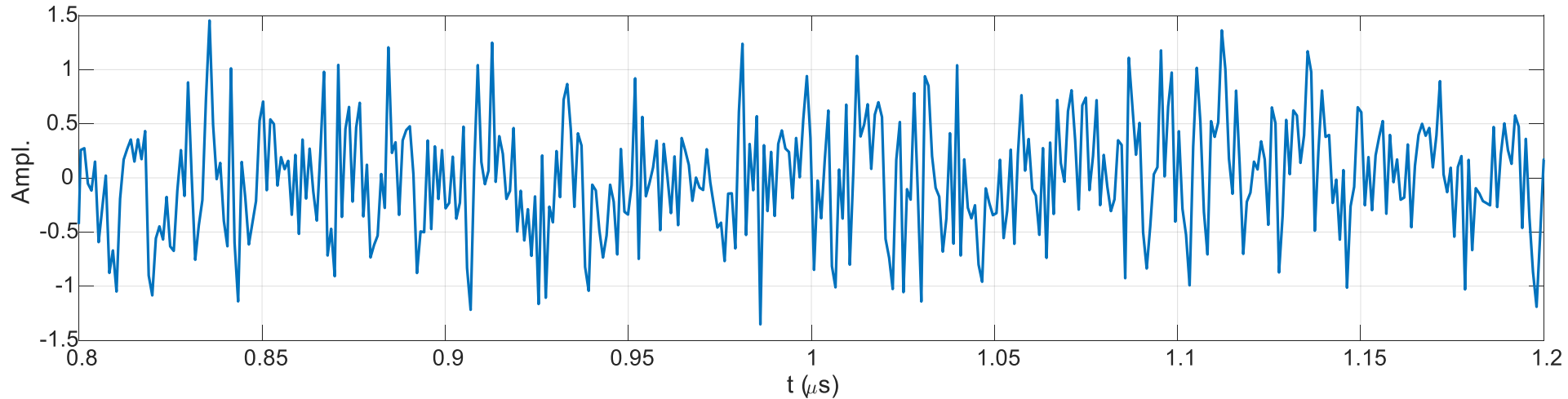
$Y = (a_1 * \cos(2 * \pi * f_1 * t) + a_2 * \sin(2 * \pi * f_2 * t)) .* \text{hanning}(N);$



Ringling, Side loop effects?

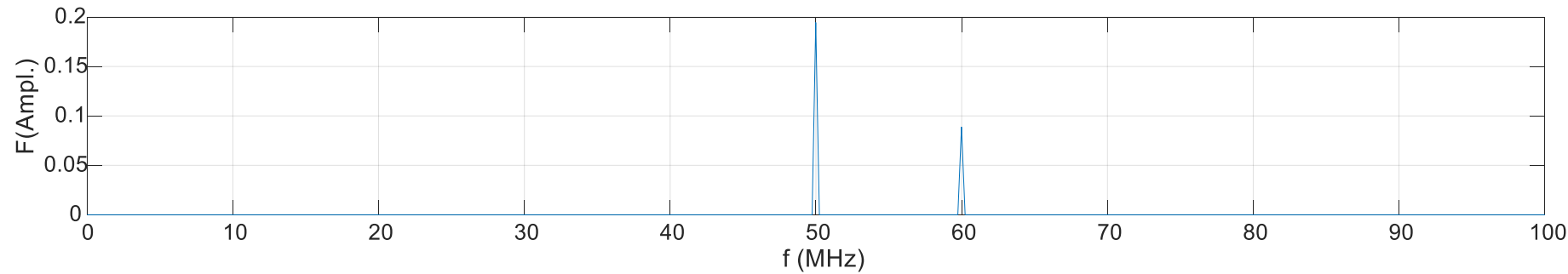
Filterung durch Thresholding im Frequenzraum

```
Y=0.2*cos(2*pi*50e6*t+2*pi/3)+0.1*cos(2*pi*60e  
6*t-pi/3)+0.5*randn(1,N);
```

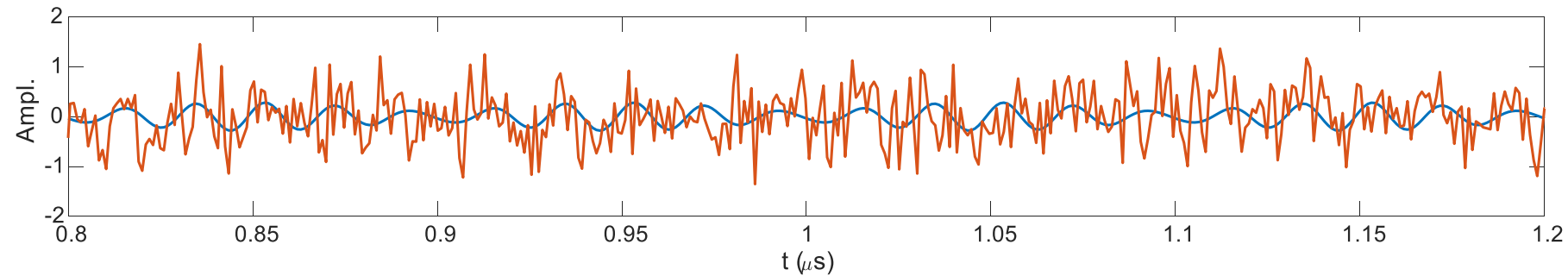


Z.B. Null setzen von
Spektralkomponenten
mit Amplitude kleiner
als 0.03.

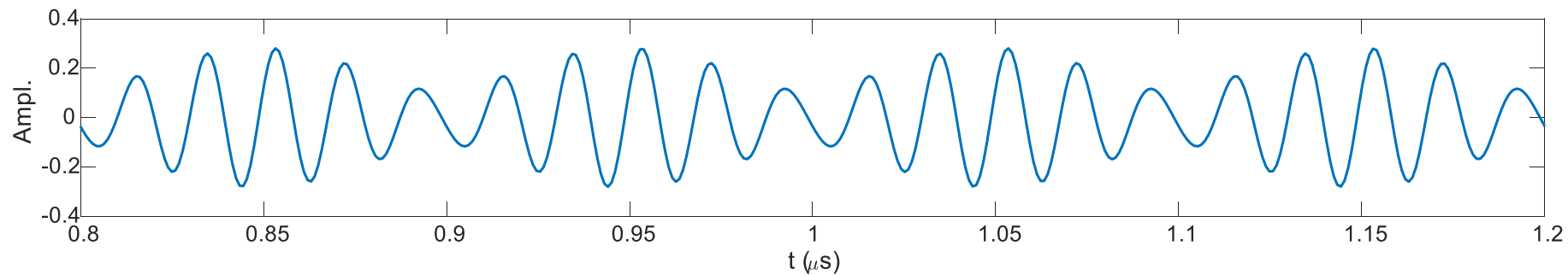
Filterung durch Thresholding im Frequenzraum



Gefiltertes Spektrum



Überlagerung
Ausgangssignal mit
gefilterten Signal

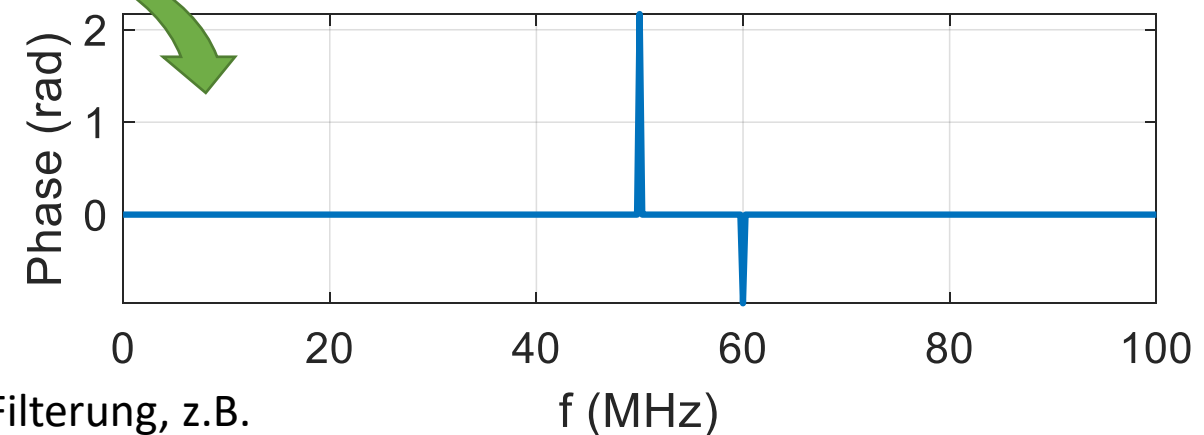
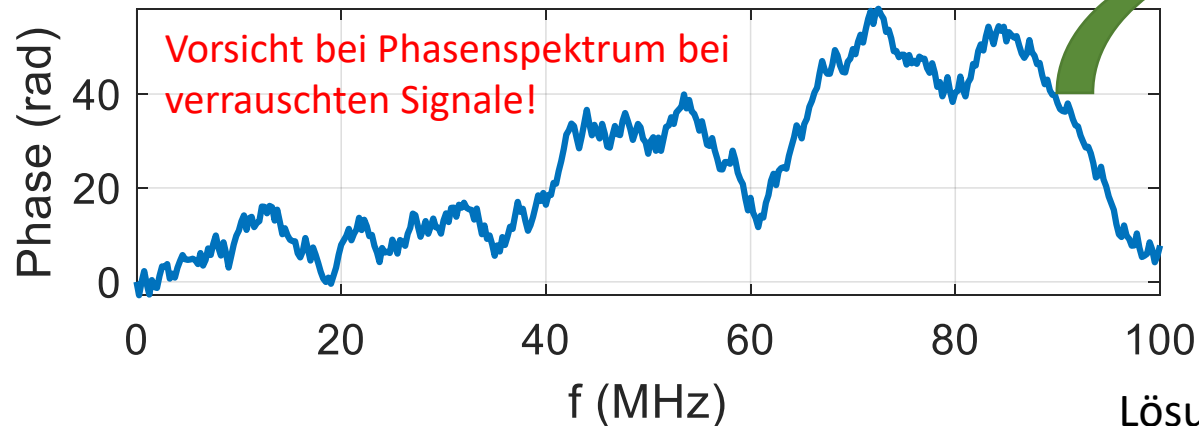
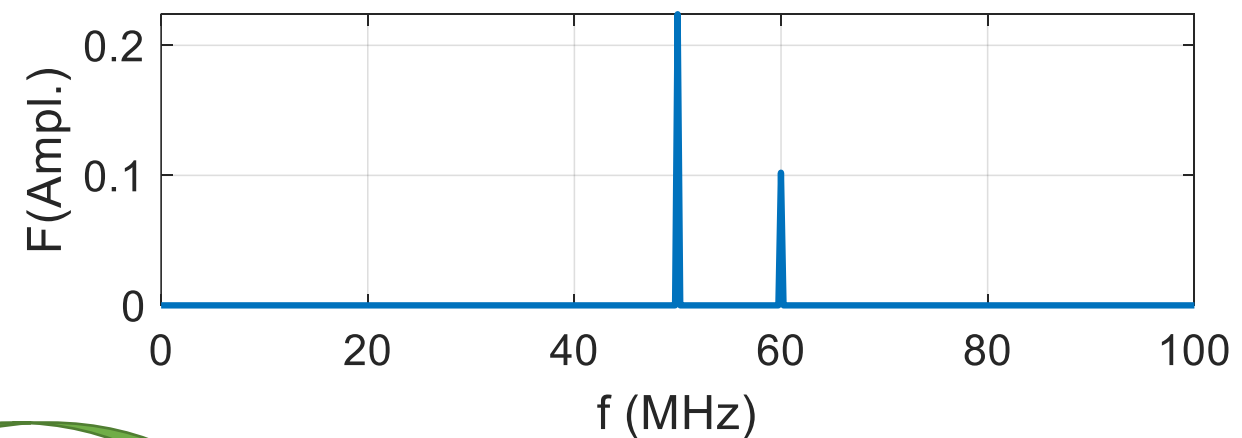
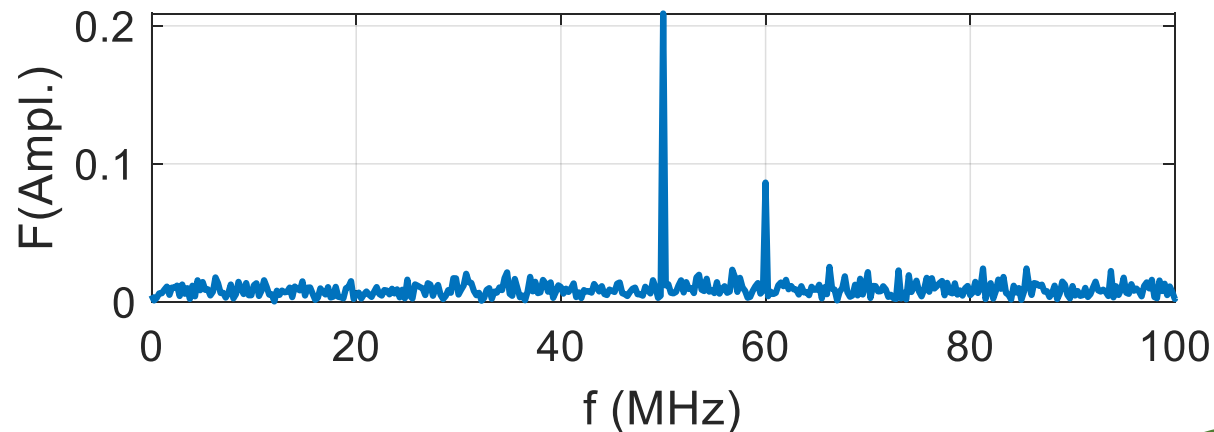


Gefiltertes
Signal

Amplituden und Phasenspektrum bei verrauschten Signalen

```
Y=0.2*cos(2*pi*50e6*t+2*pi/3)+  
0.1*cos(2*pi*60e6*t-  
pi/3)+0.5*randn(1,N)
```

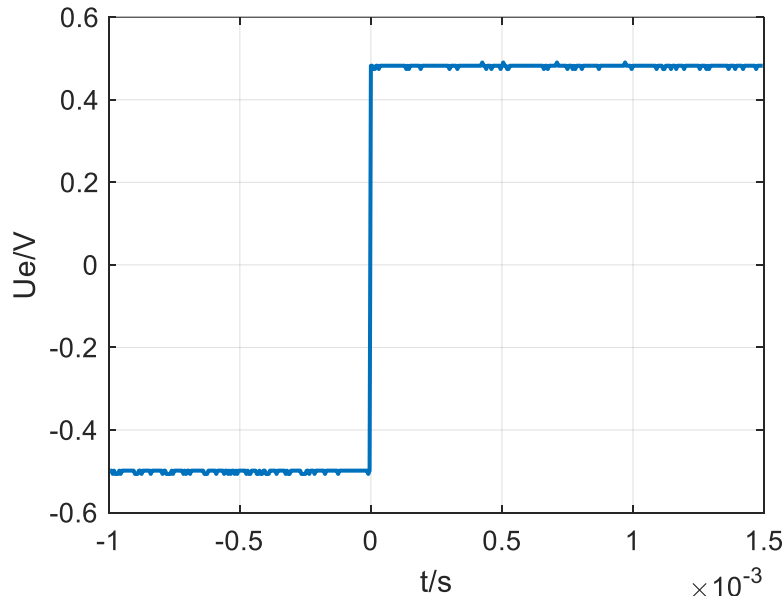
```
tol = 0.03;  
FY(FYampl < tol) = 0;  
PhaseYg=unwrap(angle(FY));
```



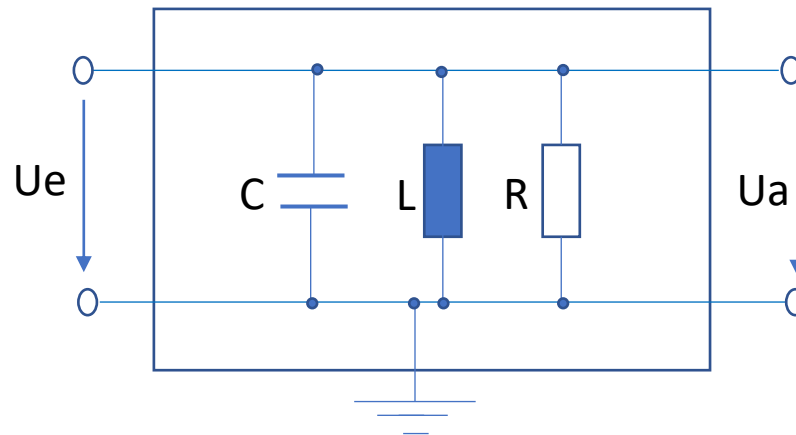
Lösung: Filterung, z.B.
durch thresholding

Beispiel Signalanalyse: gedämpfte Schwingung

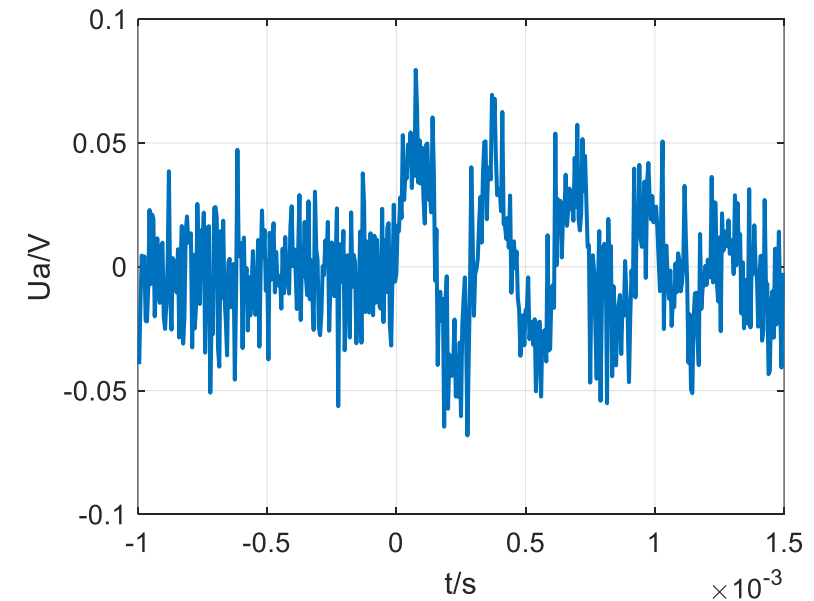
Eingangssignal



Lineares zeitinvariantes
System (LTI): parallel
Schwingkreis



Sprungantwort



Was kann analysiert werden?

- Dämpfung durch Amplitudenmessung ----> Güte
- Eigenfrequenzen durch Schwingungsperioden

Wie kann die Analyse durchgeführt werden?

- Direkt im Zeitbereich
- Frequenzraum nach der FT

Worauf soll man bereits bei der Datenaufzeichnung achten?

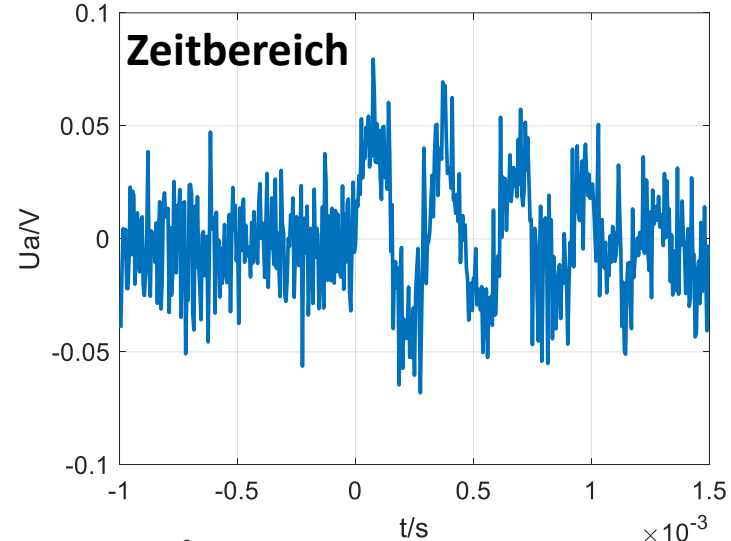
- Sampling (Zeit und Amplituden)
- Aufzeichnungsdauer
- Signalqualität

Ist die gezeigte Sprungantwort gut genug für die Analyse?

Beispiel Signalanalyse: gedämpfte Schwingung

Analyse im.....

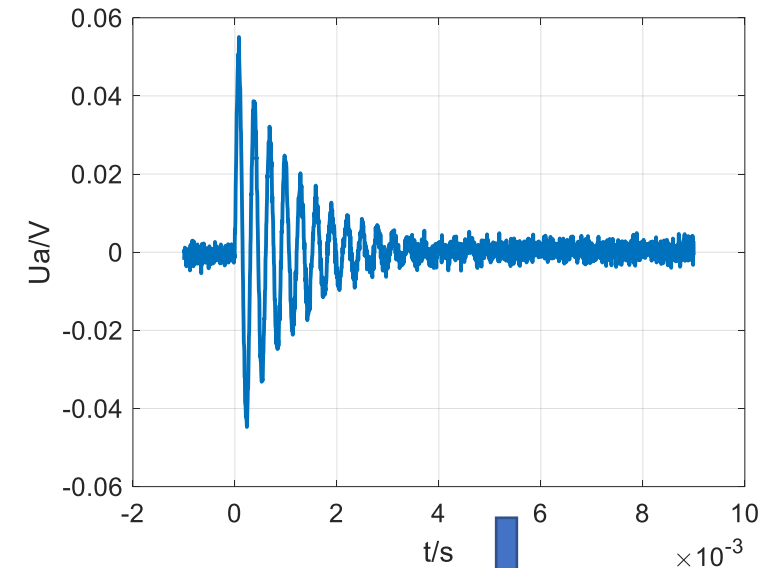
Einzelsignal



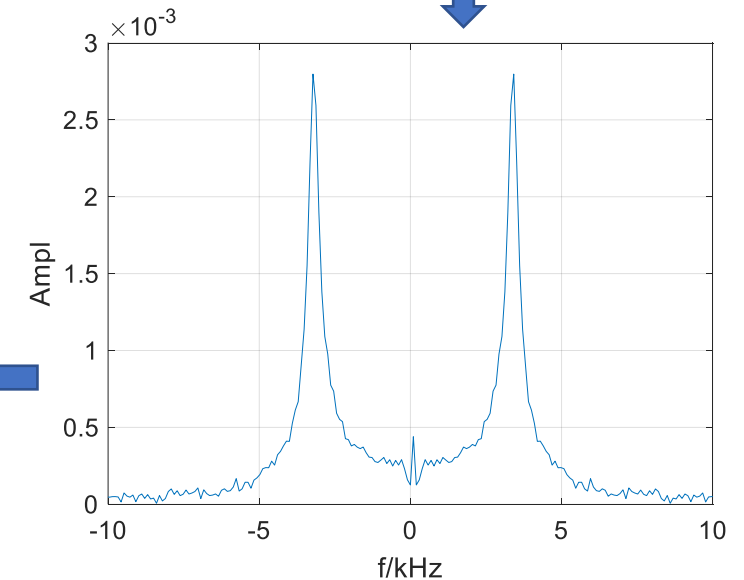
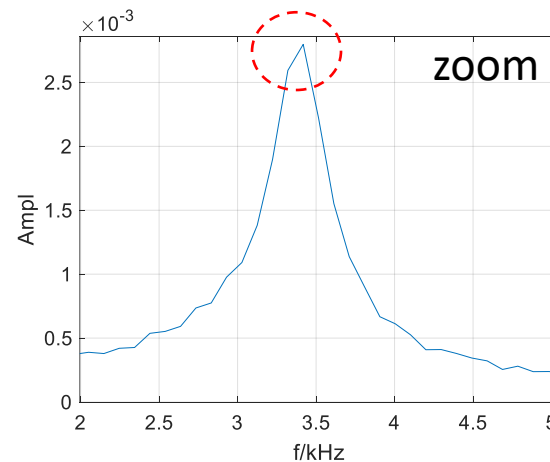
Notwendige
Verbesserungen:

- Mittelung der Signale
- Länger Aufnahmedauer

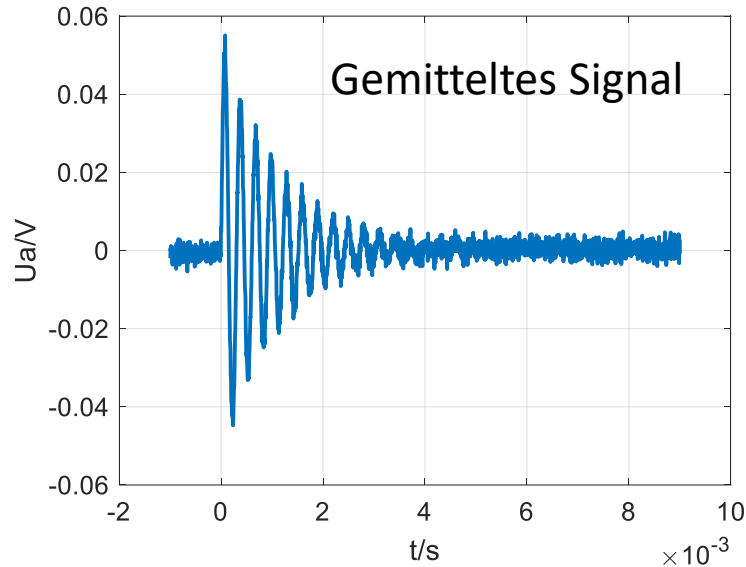
Mittelung über 100 Signale



Sampling im Frequenzbereich
sollte noch verbessert werden!

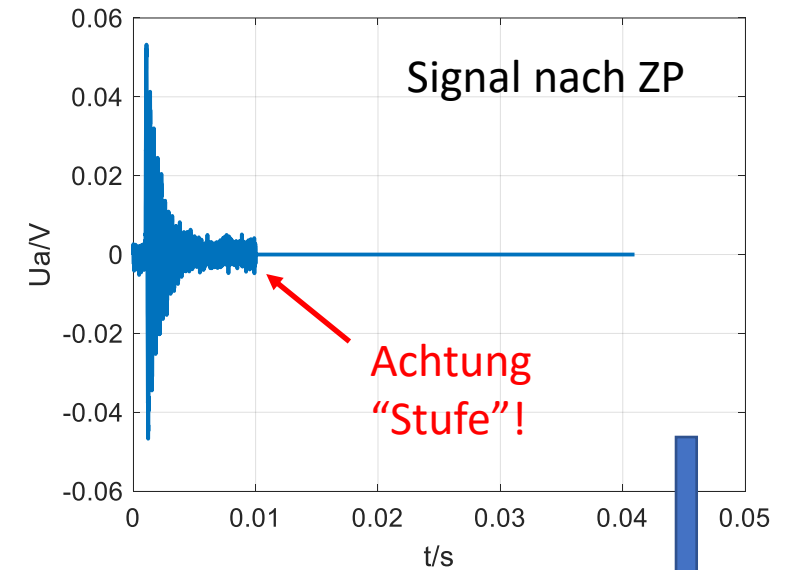


Beispiel Signalanalyse: gedämpfte Schwingung



Zero-Padding (ZP): Steigerung der Signallänge um das 4-fache zur Steigerung der Anzahl von Stützstellen im Frequenzbereich.

$$\Delta f \propto 1 / \text{Signallänge}$$



Lösung der Schwingungsgleichung:

$$U_a = U_0 \cos(\omega_e t + \phi) \cdot \exp(-\gamma t)$$

$$\omega_e = 2\pi f_e = \sqrt{\omega_0^2 - \gamma^2}$$

$$FWHM = f_2 - f_1 = \frac{\gamma}{\pi}$$

$$Q = \frac{f_e}{FWHM}$$

Zoom norm. Power Spekt.

